

I. WPROWADZENIE

■ Modele formalne

■ Modele fizyczne

■ Podział modeli fizycznych

■ Podstawowa klasyfikacja modeli elementów opiera się jednak na klasie sygnałów, dla której model utworzono.

Najważniejsze wielkości sygnału:

- zakres amplitud
- szerokość pasma

Podział modeli w zależności od zakresu amplitud

- wielkosygnałowe
 - globalne
 - lokalne
- małosygnałowe

Podział modeli w zależności od zakresu częstotliwości:

- stałoprądowe (D.C) \Rightarrow sterowanie niezmiennie w czasie
- quasi-stałoprądowe \Rightarrow sterowanie zmienne w czasie, ale sygnał odpowiedzi nadąża za sygnałem pobudzenia
- zmiennie – prądowe (a.c)

■ Postać modelu jako kryterium podziału

- Analityczne
- Symboliczne
- Graficzne
- Tablicowe
- Numeryczne

■ Modele liniowe / nieliniowe

Rezystor $i = \frac{1}{R} \cdot u$ (1.1)

Kondensator $i = C \cdot \frac{du}{dt}$ (1.2)

Indukcyjność $u = L \cdot \frac{di}{dt}$ (1.3)

Dwójnikowy element nieliniowy, np.

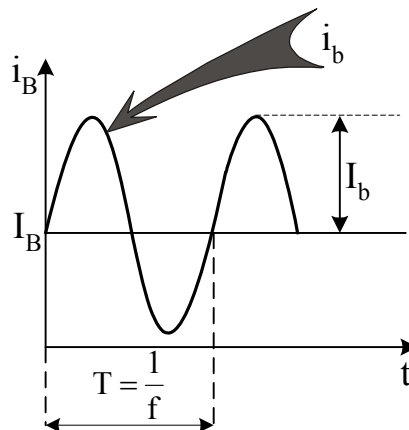
$$i = A_1 \cdot \ln k \cdot u^2 \quad (1.4)$$

■ **Oznaczenia:** obowiązują następujące zasady oznaczania prądów i napięć:

- mała litera, duży indeks (i_A, u_{CE})
oznacza wartość chwilową traktowaną jako dowolna funkcja czasu,
- duża litera, duży indeks (I_A, U_{CE})
oznacza wartość stałą,
- mała litera, mały indeks (i_a, u_{ce})
oznacza składową sygnałową (zmienną),
- duża litera, mały indeks (I_a, U_{be})
oznacza amplitudę przebiegów harmoniczných (amplitud składowej zmiennej). Tak samo oznacza się amplitudy zespolone sygnału harmonicznego,

Przykład:

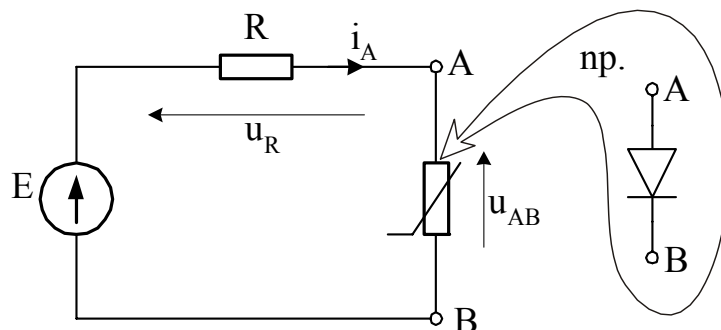
$$i_B = i_B(t) = I_B + i_b = I_B + I_b \cdot \sin \omega \cdot t \quad (1.4)$$



Rys. 1.3

■ Podstawowe problemy

Problem I



Rys. 1.4

$$\boxed{i_A = f(u_{AB})}$$

(1.5)

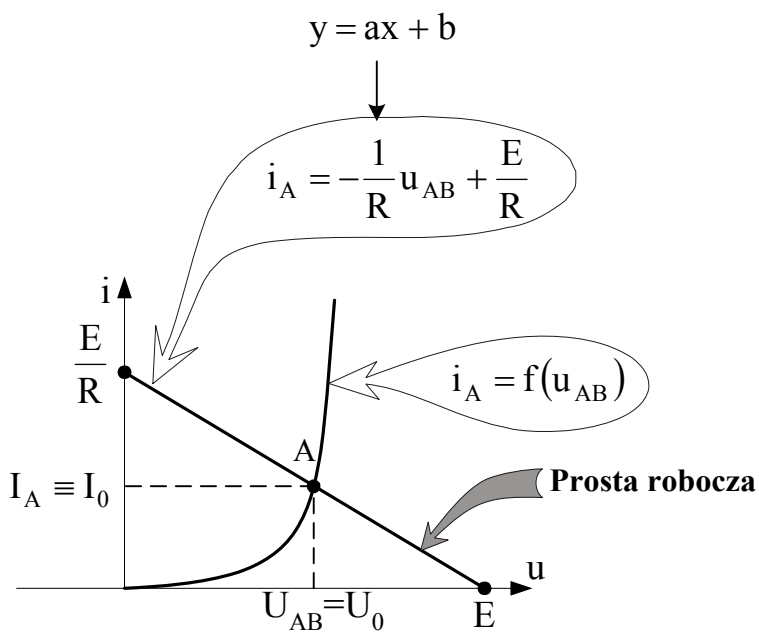
$$E = u_R + u_{AB} = i_A \cdot R + u_{AB}$$

(1.6)

stąd

$$\boxed{i_A = \frac{E - u_{AB}}{R}}$$

(1.7)



Rys. 1.5

Problem II

$$\mathbf{i}_A = \mathbf{f}(\mathbf{u}_{AB})$$

$$\mathbf{u}_{AB} = U_{AB} + U_{ab} \quad (1.9a)$$

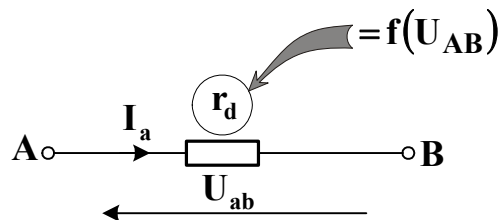
$$\mathbf{i}_A = I_A + I_a \quad (1.9b)$$

$$I_A + I_a = f(U_{AB} + U_{ab}) \cong f(U_{AB}) + \left. \frac{df}{du_{AB}} \right|_{U_{AB}} \cdot U_{ab} + \dots \quad (1.10)$$

$$I_a = \left. \frac{df}{du_{AB}} \right|_{U_{AB}} \cdot U_{ab} \quad (1.11)$$

$$g_d = \left. \frac{df}{du_{AB}} \right|_{U_{AB}} \quad (1.12)$$

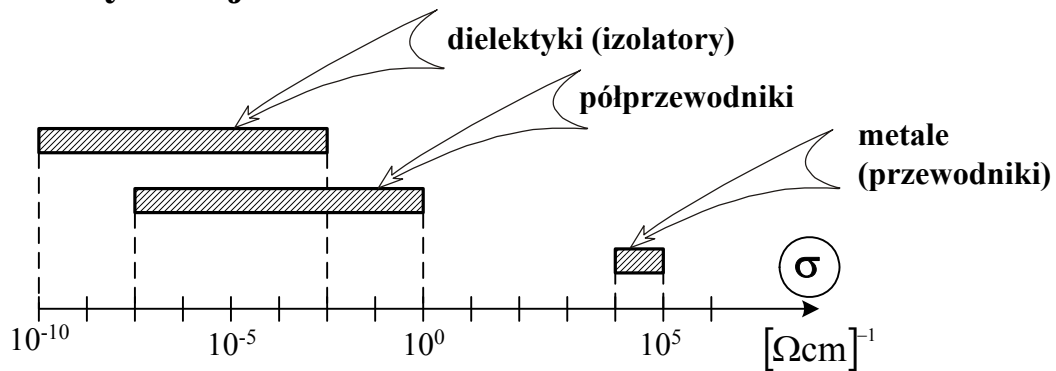
- Reprezentacja graficzna modelu małosygnalowego dla małych częstotliwości.



Rys. 1.6

II. MATERIAŁY PÓŁPRZEWODNIKOWE

■ Klasyfikacja

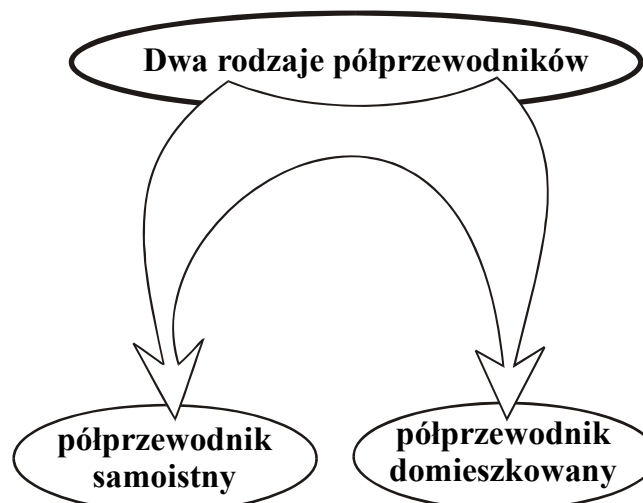


Rys. 2.1

■ Chemicznie czyste półprzewodniki (nie domieszkowane) zachowują się jak izolatory

Do specyficznych cech półprzewodników zalicza się również zależność σ od:

- oświetlenia → fotorezystory
- pola elektrycznego → warystory
- pola magnetycznego → hallotrony
- temperatury → termistory



■ Półprzewodnik samoistny

Tab. 2.1

Material półprzewodnikowy	W_g (300 K) [eV]	W_{go} (0 K) [eV]
Ge	0,78	
Si	1,1	1,21
GaAs	1,4	
SiC	3	
C	5	

$$n_i = p_i \quad (2.1)$$

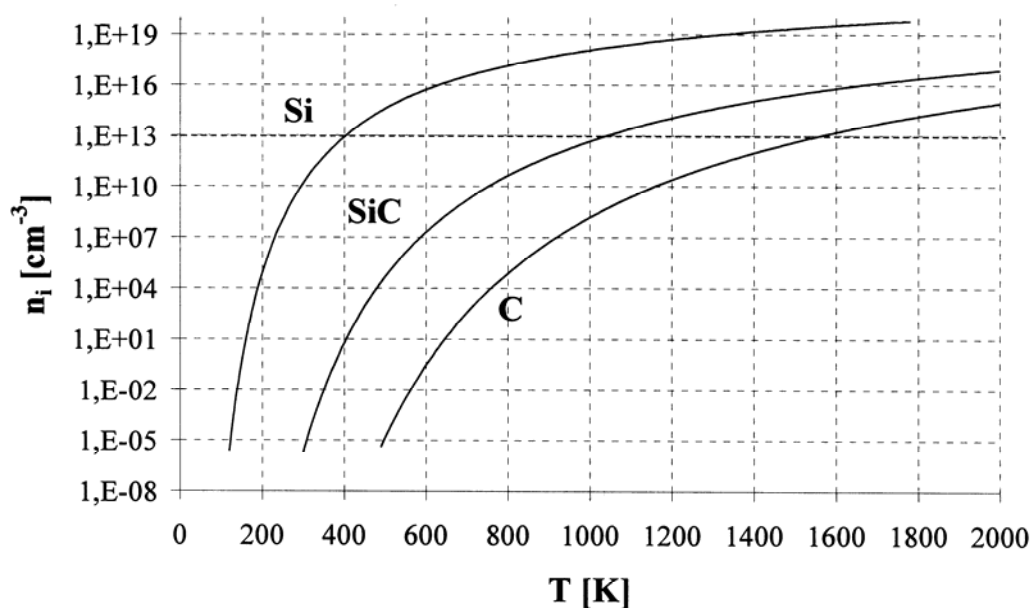
$$n_i = AT^{3/2} \exp \left(-\frac{W_{go}}{2kT} \right) \quad (2.2)$$

gdzie A – współczynnik, k – stała Boltzmanna, n_i - samoistna koncentracja nośników zależna silnie od T oraz od W_{go} .

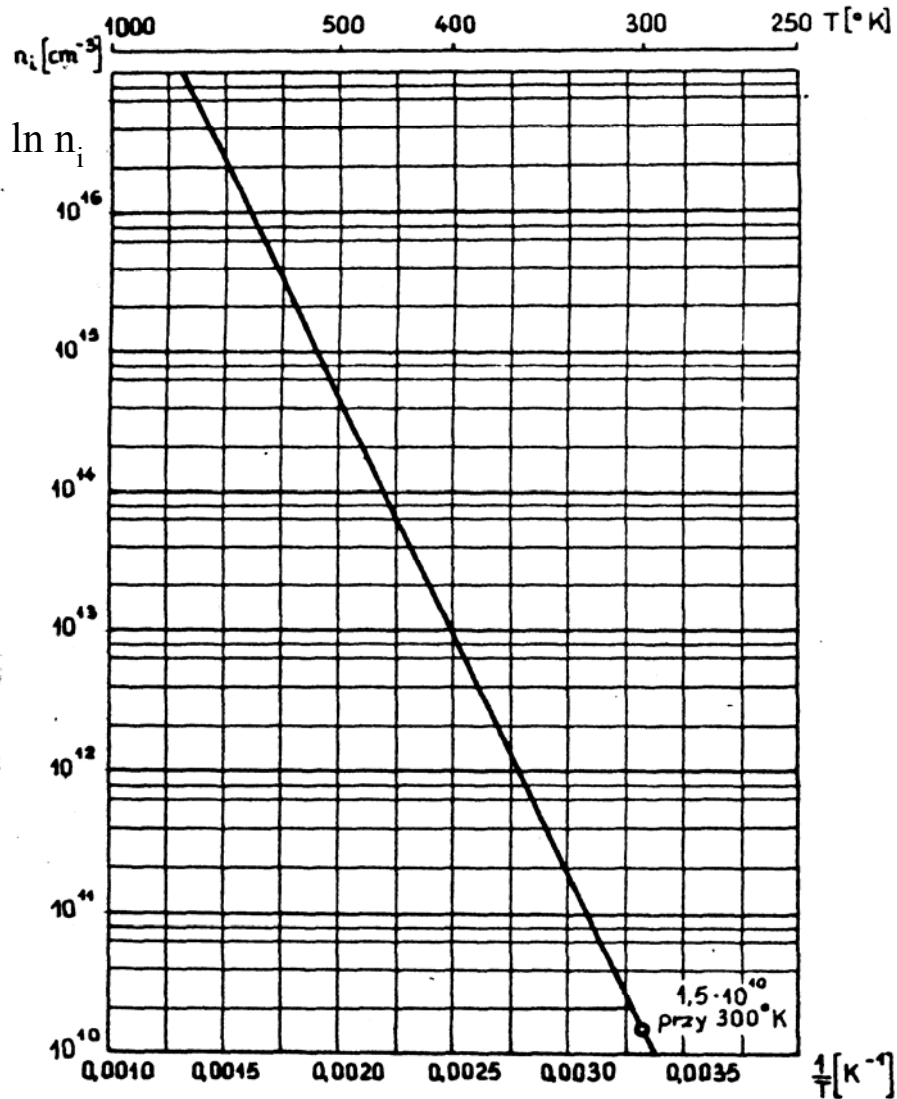
Dla Si ($T = 300K$), $n_i = 1,5 \cdot 10^{10} \text{ cm}^{-3}$

dla GaAs ($T = 300K$) $n_i = 1,8 \cdot 10^6 \text{ cm}^{-3}$

- Zależność n_i (T) dla wybranych materiałów półprzewodnikowych



Rys. 2.3



Rys. 2.4

Półprzewodnik domieszkowany

- Jeśli do sieci półprzewodnika (4-wartościowego) wprowadzi się atom 5-wartościowy (fosfor, arsen, antymon), wówczas 4 elektrony są zaangażowane w wiązaniu krystalicznym – piąty elektron jest bardzo słabo związany z atomem. Wystarczy znikoma energia rzędu do 0,1 eV aby wyzwolić ten elektron. Tak więc przy typowym domieszkowaniu w $T = 300\text{K}$ wszystkie atomy są zjonizowane. Taka domieszka dająca dodatkowe elektrony nazywana jest **domieszką donorową (N_D)**.
- Jeśli wprowadzi się domieszkę 3-wartościową (bor, gal, glin) wówczas jedno wiązanie jest nie obsadzone – stąd powstanie dziury (znak +). **Koncentracja akceptorowa (N_A)**.

Generacja – proces tworzenia nośników przez jonizację lub rozrywanie wiązań krystal. (temperatura, oświetlenie)

Rekombinacja – proces odwrotny do generacji.

$$\boxed{n \cdot p = n_i^2} \quad (2.3)$$

Definicje i oznaczenia

- Nośniki większościowe – te nośniki których jest więcej
- Nośniki mniejszościowe – te nośniki których jest mniej
- Półprzewodnik typu N – gdy elektrony są nośnikami większościowymi
- Półprzewodnik typu P – gdy dziury są nośnikami większościowymi
- n_n, p_n – koncentracje elektronów i dziur w półprzewodniku typu N
- p_p, n_p – koncentracje elektronów i dziur w półprzewodniku typu P
- N_A, N_D – koncentracje domieszki akceptorowej i donorowej

Koncentracje nośników

$$\boxed{n_n = \frac{1}{2} \left[N_D - N_A + \sqrt{(N_D - N_A)^2 + 4n_i^2} \right]} \quad (2.5)$$

$$\boxed{p_p = \frac{1}{2} \left[N_A - N_D + \sqrt{(N_A - N_D)^2 + 4n_i^2} \right]} \quad (2.6)$$

Półprzewodnik silnie domieszkowany

- typu P

$$N_A - N_D \gg n_i$$

i wówczas

$$z (2.6) \rightarrow p_p = N_A - N_D \quad \text{gdy } N_D = 0 \quad \boxed{p_p = N_A} \quad (2.7a)$$

$$z (2.2) \rightarrow n_p = \frac{n_i^2}{N_A - N_D} \quad \text{gdy } N_D = 0 \quad \boxed{n_p = \frac{n_i^2}{N_A}} \quad (2.7b)$$

- typu N

$$N_D - N_A \gg n_i$$

i wtedy

$$z (2.5) \rightarrow n_n = N_D - N_A \quad \text{gdy } N_A = 0 \quad \boxed{n_n = N_D} \quad (2.8a)$$

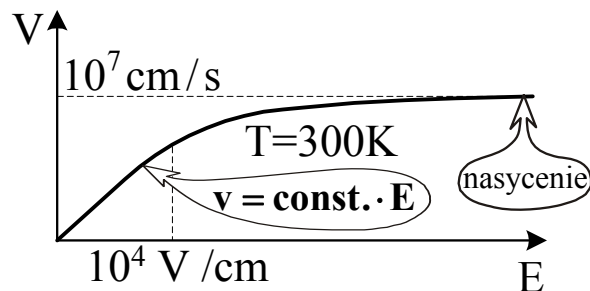
$$z (2.2) \rightarrow p_n = \frac{n_i^2}{N_D - N_A} \quad \text{gdy } N_A = 0 \quad \boxed{p_n = \frac{n_i^2}{N_D}} \quad (2.8b)$$

Mechanizmy transportu

- unoszenie (dryft)
- dyfuzja

■ Unoszenie

Zależności $v(E)$ dla krzemu pokazano na rys. 2.6



Rys 2.6

- Ruchliwość

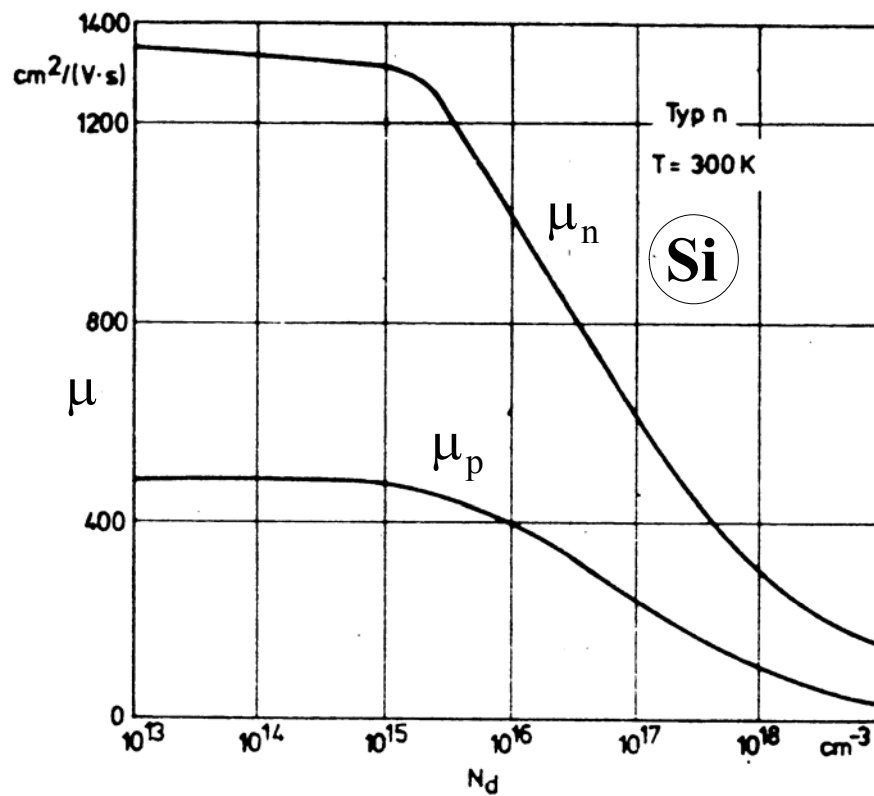
$$v_n = -\mu_n \cdot E \quad (2.9a)$$

$$v_p = \mu_p \cdot E \quad (2.9b)$$

Ruchliwość jest funkcją :

- koncentracji domieszek
- temperatury
- natężenia pola elektrycznego

■ **Zależność μ od domieszkowania**



Rys. 2.7

$$\mu_n, \mu_p \approx \text{const.}$$

$$\mu_n = 1350 \text{ cm}^2 \text{ V}^{-1} \text{ s}^{-1}$$

$$\mu_p = 480 \text{ cm}^2 \text{ V}^{-1} \text{ s}^{-1}$$

$$\mu_n \approx 3 \cdot \mu_p$$

■ Zależność μ od temperatury

$$\mu(T) = \mu_0 \left(\frac{T}{T_0} \right)^{-\kappa} = B \cdot T^{-\kappa} \sim T^{-\kappa} \quad (2.11)$$

■ Prąd unoszenia

$$\mathbf{j}_{nu} = -q \mathbf{v}_n \cdot \mathbf{n} = q \mu_n n \mathbf{E} \quad (2.12)$$

$$\mathbf{j}_{pu} = -q \mathbf{v}_p \cdot \mathbf{p} = q \mu_p p \mathbf{E} \quad (2.13)$$

$$\mathbf{j}_u = q \mathbf{E} (n \cdot \mu_n + p \cdot \mu_p) \quad (2.14)$$

Dyfuzja

$$\mathbf{j}_{nd} = q D_n \frac{dn}{dx} \quad (2.15)$$

$$\mathbf{j}_{pd} = -q D_p \frac{dp}{dx} \quad (2.16)$$

gdzie D_n, D_p – stałe dyfuzji elektronów i dziur.

$$D = \frac{kT}{q} \cdot \mu = U_T \cdot \mu \quad (2.21)$$

U_T – potencjał termiczny ma wymiar napięcia ($T = 300K$, $U_T = 25,8 \text{ mV}$)

$$\mathbf{j} = \mathbf{j}_n + \mathbf{j}_p \quad (2.18)$$

$$\mathbf{j}_n = q \mu_n n \mathbf{E} + q D_n \frac{dn}{dx} \quad (2.19)$$

$$\mathbf{j}_p = q \mu_p p \mathbf{E} - q D_p \frac{dp}{dx} \quad (2.20)$$

Konduktywność

$$\sigma = q(n \cdot \mu_n + p \cdot \mu_p) \quad (2.22)$$

$$\rho = 1 / \sigma \quad (2.23)$$

$$\sigma_i = qn_i(\mu_n + \mu_p) \quad (2.24)$$

Półprzewodnik w stanie odchylenia od równowagi termicznej

$$n \cdot p > n_i^2 \quad (2.25)$$

nazywany jest stanem wprowadzania nośników.

NPW \Rightarrow taki stan, w którym koncentracja nośników nadmiarowych jest dużo mniejsza od koncentracji równowagowej nośników większościowych.

Oznaczamy:

n_0, p_0 – koncentracja elektronów i dziur
w równowadze termicznej

$$\left. \begin{array}{l} \Delta n = n - n_0 \\ \Delta p = p - p_0 \end{array} \right\} \leftarrow \text{nadmiarowe koncentracje nośników}$$

Zatem:

NPW \Leftrightarrow gdy $\Delta n, \Delta p \gg n_0, p_0$

Przykład:

W próbce typu N w równowadze termicznej, koncentracja swobodnych elektronów wynosi $n_{n0} = 10^{16} \text{ cm}^{-3}$, a koncentracja dziur

$$p_{n0} = \frac{n_i^2}{n_{n0}} = 10^4 \text{ cm}^{-3}$$

Do próbki wprowadzono nośniki nadmiarowe o koncentracji

$$\Delta n = \Delta p = 10^8 \text{ cm}^{-3}$$

Całkowita koncentracja elektronów w stanie wprowadzania

$$n_n = n_{n0} + \Delta n \cong n_{n0}$$

Całkowita koncentracja dziur w stanie wprowadzania

$$p_n = p_{n0} + \Delta p \approx \Delta p$$

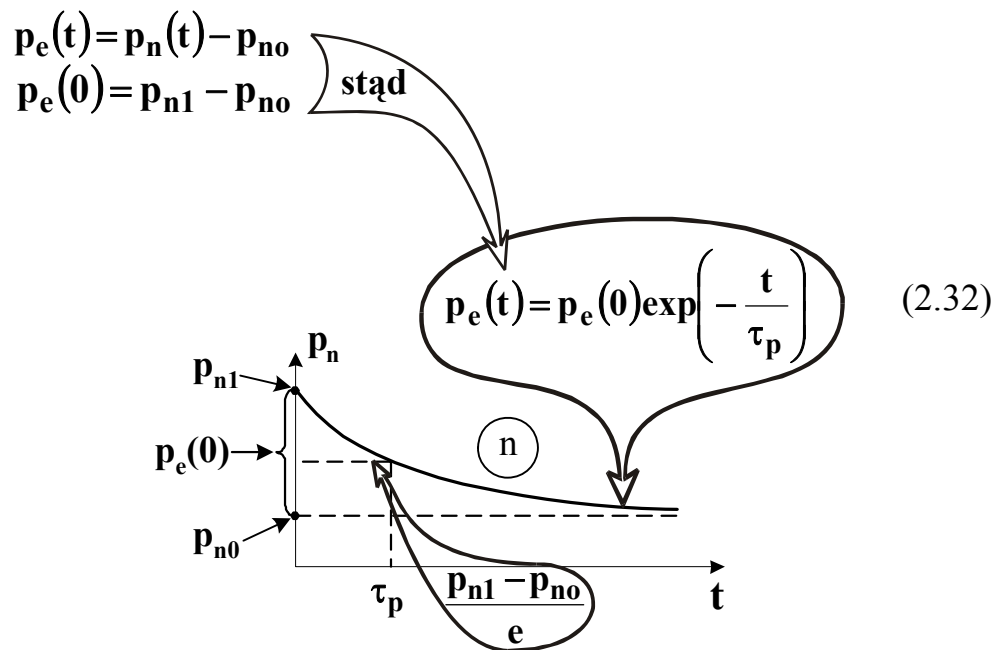
Wniosek

- Przy **NPW** koncentracja nośników większościowych nie zmienia się,
- Właściwości półprzewodników przy **NPW** wystarczy określać poprzez zmiany koncentracji nośników mniejszościowych,

Rozkłady koncentracji nośników mniejszościowych i parametry materiałowe dynamiczne

Przypadek I**czas życia nośników nadmiarowych**

$$p_n(t) = p_{n0} + (p_{n1} - p_{n2}) \exp\left(-\frac{t}{\tau_p}\right) \quad (2.31)$$



Rys. 2.11

czasu życia τ_p :

Jest to czas jaki upływa od chwili wyłączenia czynnika generującego po którym nadmiarowa koncentracja nośników maleje e-krotnie.

Czas życia nośników w Si:

$$\tau_p \in (10^{-9} \text{ s}, 10^{-5} \text{ s})$$

Przypadek II**długość drogi dyfuzji nośników nadmiarowych.**

$$p_n(x) = p_{no} + (p_{n1} - p_{n2}) \exp\left(-\frac{x}{L_p}\right) \quad (2.33a)$$

gdzie

$$L_p = \sqrt{D_p \cdot \tau_p}$$

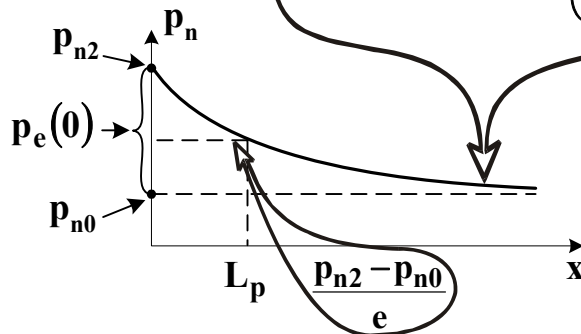
oznaczamy:

$$\begin{aligned} p_e(x) &= p_n(x) - p_{n0} \\ p_e(0) &= p_{n2} - p_{n0} \end{aligned}$$

stąd

$$p_e(x) = p_e(0) \cdot \exp\left(-\frac{x}{L_p}\right)$$

(2.33b)



Rys. 2.12

Średnia droga dyfuzji L_p :

odległość po przejściu której koncentracja nadmiarowych nośników maleje e-krotnie w stosunku do wartości na oświetlanej powierzchni.

Typowe wartości L_p dla krzemu ($T = 300 \text{ K}$)

$$L_p \in (10^{-5} \text{ cm}, 10^{-3} \text{ cm})$$

Wpływ temperatury

■ Koncentracja nośników

$$\gamma_{ni} = \frac{1}{n_i} \cdot \frac{dn_i}{dT} = \frac{1}{T} \cdot \left(1,5 + \frac{W_{go}}{2k \cdot T} \right) \quad (2.35)$$

Wartość tego współczynnika dla krzemu w temperaturze 300K wynosi

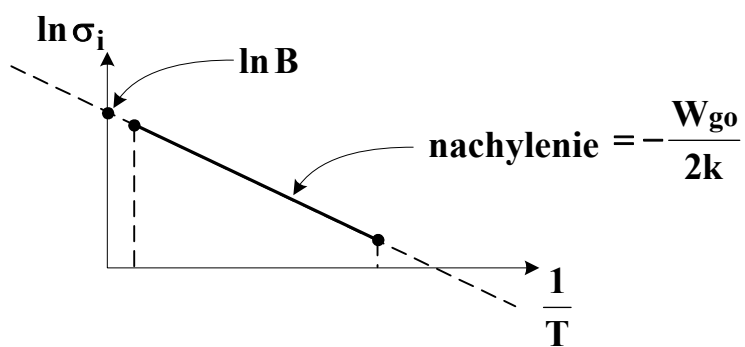
$$\gamma_{ni}(T = 300) \approx 8\% \text{K}^{-1}$$

■ Konduktywność

Półprzewodnik samoistny

$$\sigma_i = B \exp \left(- \frac{W_{go}}{2kT} \right) \quad (2.37)$$

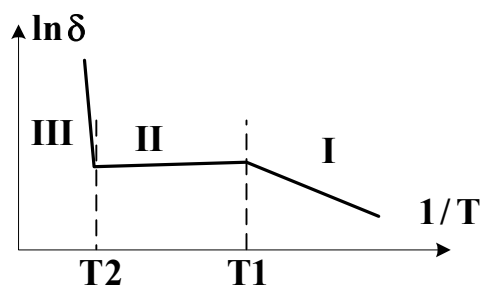
$$\ln \sigma_i = \ln B - \frac{W_{go}}{2k} \cdot \frac{1}{T} \quad (2.38)$$



Rys 2.13.

$$\gamma_{\sigma} = \frac{1}{\sigma} \frac{d\sigma}{dT} \quad (2.32)$$

Półprzewodnik silnie domieszkowany



Rys. 2.14

$$T_1 \in (-200^{\circ}\text{C} \div -80^{\circ}\text{C})$$

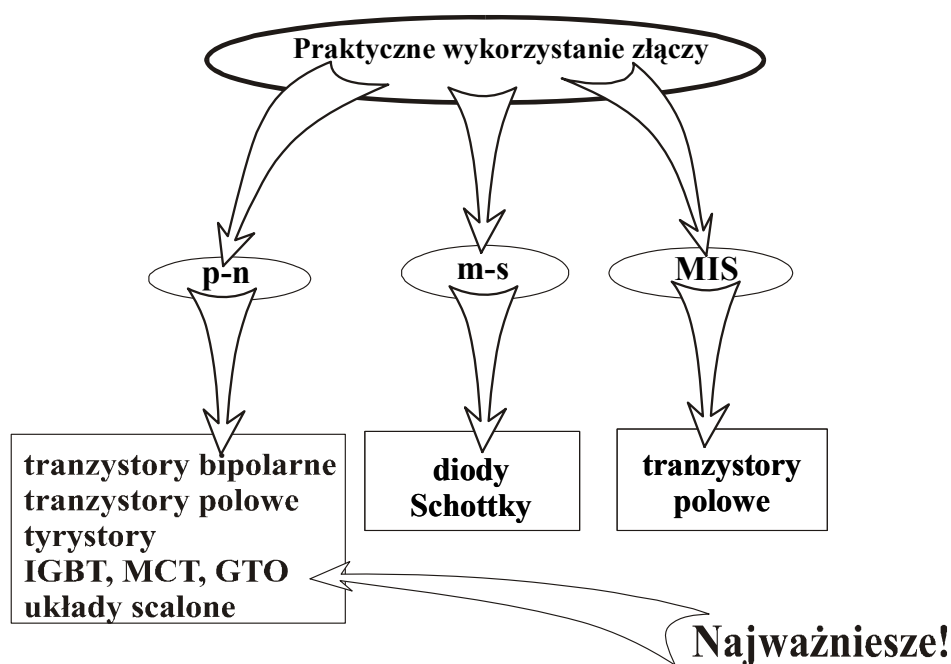
$$T_2 \in (200^{\circ}\text{C} \div 400^{\circ}\text{C})$$

III. Diody półprzewodnikowe

Wstęp

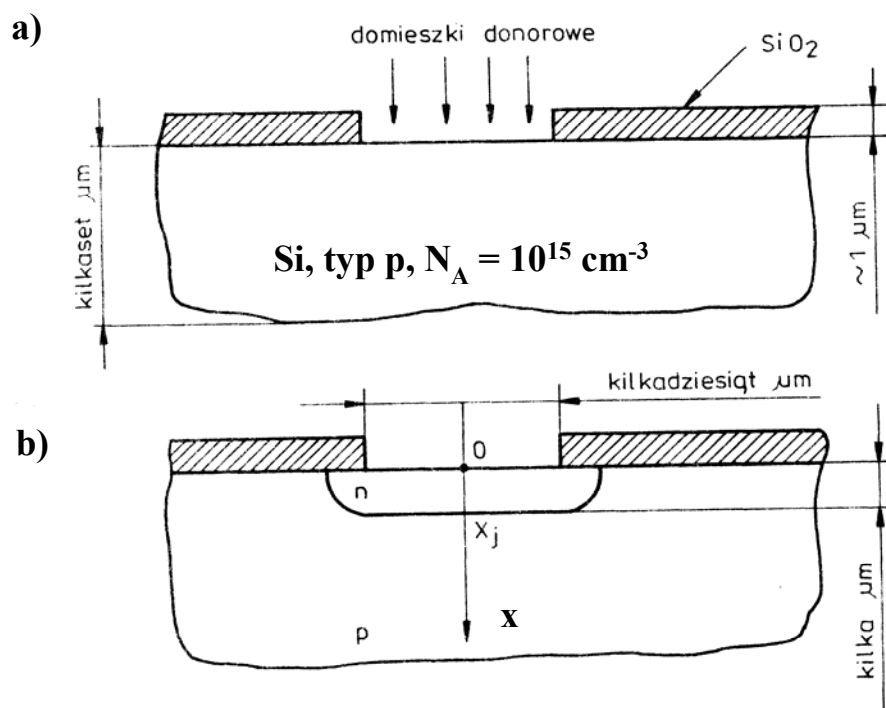
Podział złączy

- **złącza p-n**, w którym styk tworzą obszary p oraz n z tego samego materiału półprzewodnikowego, np. krzemu,
 - **złącza m-s**, w których w kontakcie pozostają obszary półprzewodnika i metalu,
 - **heterozłącza**, w których pozostają w kontakcie dwa różne materiały półprzewodnikowe, (Ge – Si)
- } **ch – ki**
i(u)
- **struktura MIS** (metal–izolator–półprzewodnik) \Leftarrow **ch – ki**
C(u)



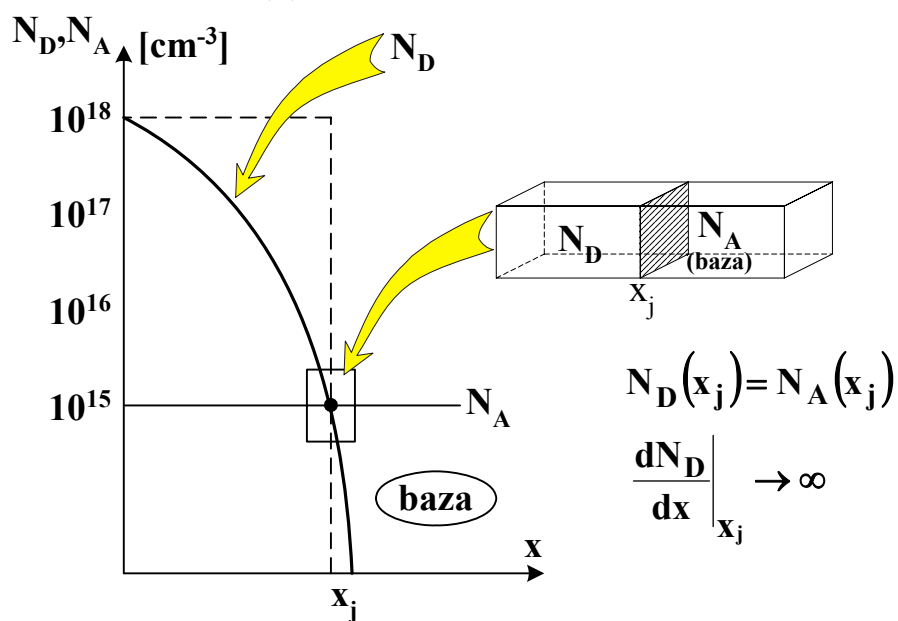
Rys. 3.1

Technologia złącza p-n



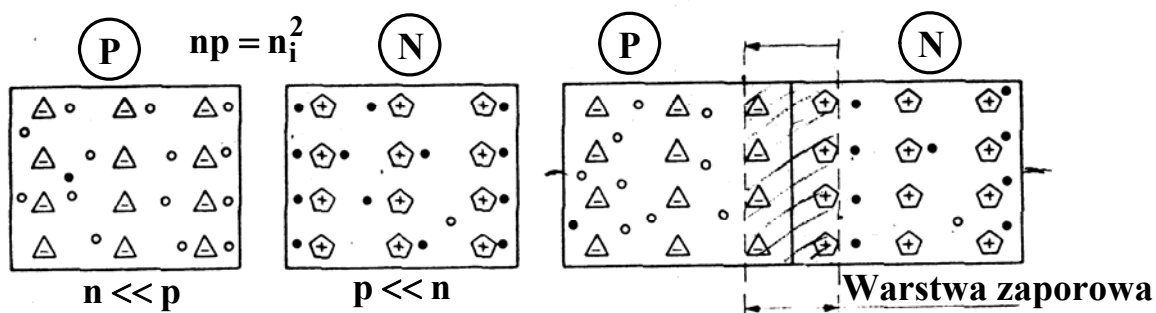
Rys. 3.2

■ Zależność $N_D, N_A = f(x)$



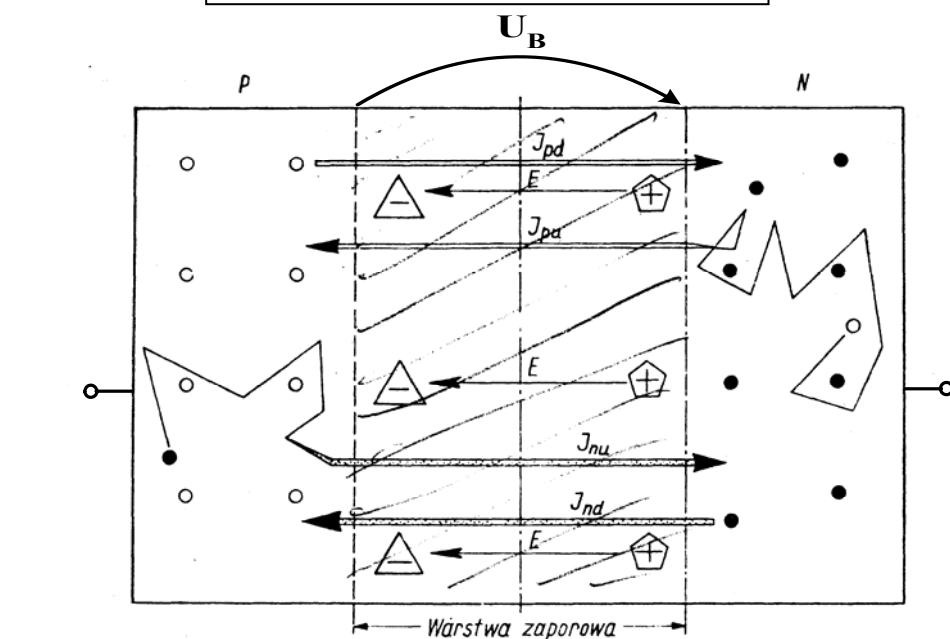
Rys. 3.3

Złącze niespolaryzowane ($u = 0$)

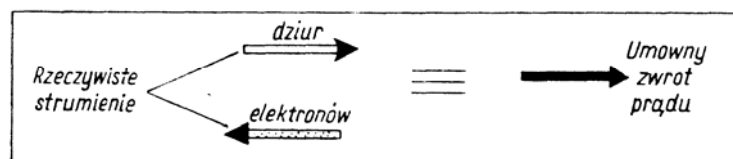


Rys. 3.4

obszar ładunku przestrzennego
obszar opróżniony złącza
obszar przejściowy
warstwa zaporowa złącza



Legenda:



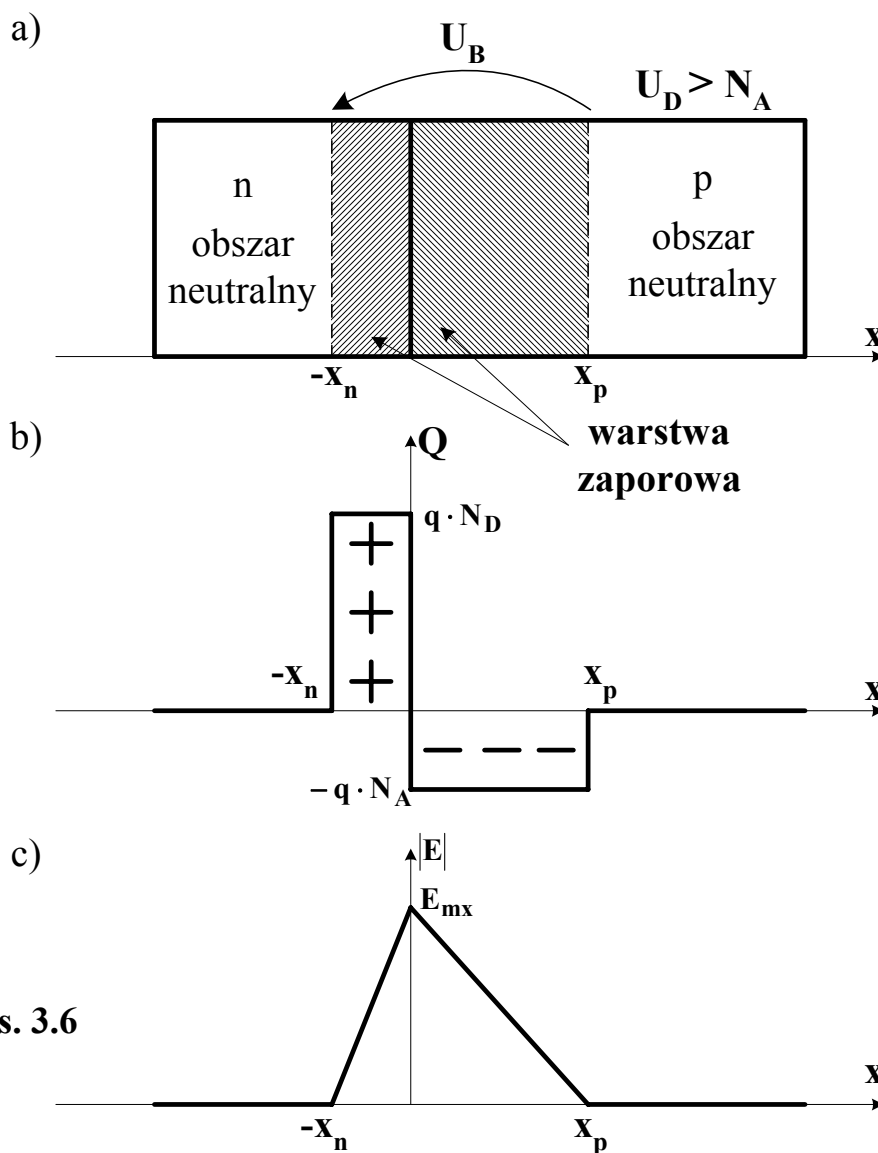
Rys. 3.5

napięcie kontaktowe
napięcie dyfuzyjne
napięcie bariery
napięcie wbudowane

$$U_B = U_T \cdot \ln \frac{N_A \cdot N_D}{n_i^2}$$

(3.2)

dla S_i w temperaturze 300K $\rightarrow U_B \approx 700\text{mV}$



Rys. 3.6

- Słuszna jest zależność

$$\boxed{N_A \cdot x_n = N_D \cdot x_p} \quad (3.4)$$

- Grubość obszarów opróżnionych

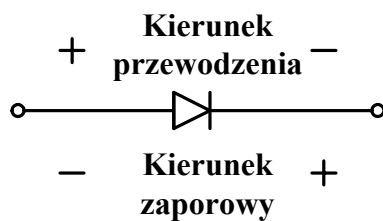
$$x_n = \sqrt{\frac{2\epsilon\epsilon_0}{N_A + N_D} \cdot \frac{N_A}{q \cdot N_D} \cdot U_B} \sim \sqrt{U_B} \quad (3.6a)$$

$$x_p = \sqrt{\frac{2\epsilon\epsilon_0}{N_A + N_D} \cdot \frac{N_D}{q \cdot N_A} \cdot U_B} \sim \sqrt{U_B} \quad (3.6b)$$



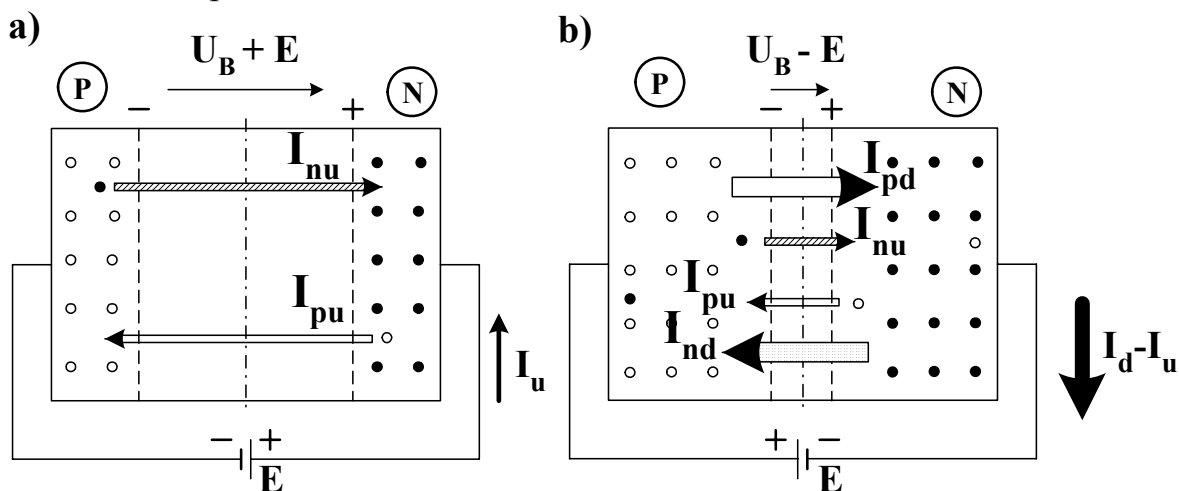
$$\boxed{x_n, p \sim \sqrt{U_B}}$$

Złącze spolaryzowane



Rys. 3.7

- Kierunek zaporowy
- Kierunek przewodzenia



Rys. 3.8

$$X_n = \sqrt{\frac{2\epsilon\epsilon_0 N_A}{q N_D (N_A + N_D)}} (U_B - u) \sim \sqrt{U_B - u} \quad (3.7a)$$

$$X_p = \sqrt{\frac{2\epsilon\epsilon_0 N_D}{q (N_A + N_D) N_A}} (U_B - u) \sim \sqrt{U_B - u} \quad (3.7b)$$

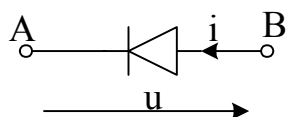
$$x_{n,p} \sim \sqrt{U_B - u}$$

Charakterystyka statyczna $i(u)$ złącza idealnego

- złącze skokowe
- jednowymiarowy charakter zjawisk w złączu
- niski poziom wprowadzania
- pole elektryczne występuje tylko w warstwie zaporowej
- rezystywność obszarów neutralnych = 0
- brak procesów gen.–rekomb. w obszarze ładunku przestrz.
- nie występują efekty przebicia

Gdy warunki te są spełnione → **złącze idealne**

- Wzór na statyczną charakterystykę prądowo – napięciową $i(u)$ złącza idealnego ma postać



Model wielkosygnałowy statyczny

$$i = I_S \cdot \left(\exp \frac{u}{U_T} - 1 \right) \quad (3.8)$$

gdzie:

- potencjał termiczny $U_T = \frac{kT}{q}$ (3.9)

- prąd nasycenia $I_S = q \cdot S \cdot n_i^2 \left(\frac{D_n}{L_n \cdot N_A} + \frac{D_p}{L_p N_D} \right)$ (3.10)

- dla złącza p^+n $I_S = q \cdot S \cdot n_i^2 \frac{D_p}{L_p N_D}$ (3.11)

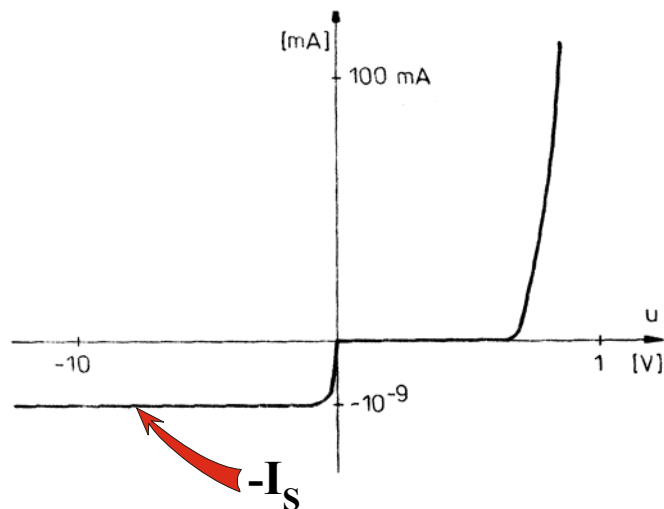
p^+n Dla krótkiej bazy $L_p \rightarrow W_n$

- Można napisać, że: $I_S \sim S \cdot n_i^2$ (3.12)

$I_S \in (\text{nanoampery, pikoampery})$

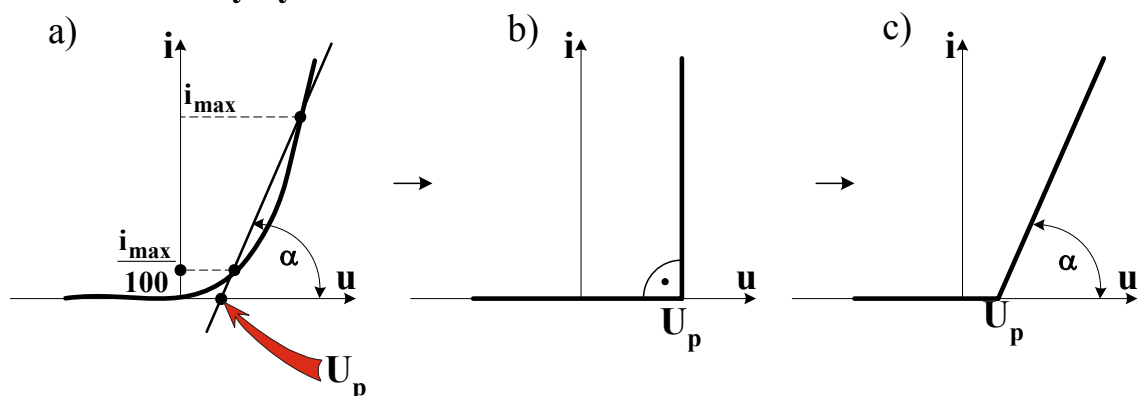
■ Postać graficzna modelu

- Skala log-lin (przykład liczbowy)



Rys. 9

- Charakterystyka odcinkowo – liniowa



Rys. 3.10

■ Uproszczenia

- dla $u \geq 4 \cdot U_T$: $i = I_S \exp \frac{u}{U_T}$ (3.13a)
 - dla $u \leq 4 \cdot U_T$: $i = -I_S$ (3.13b)
- błąd < 1-2%

■ Inercja elektryczna

- Pojemność dyfuzyjna (C_d)

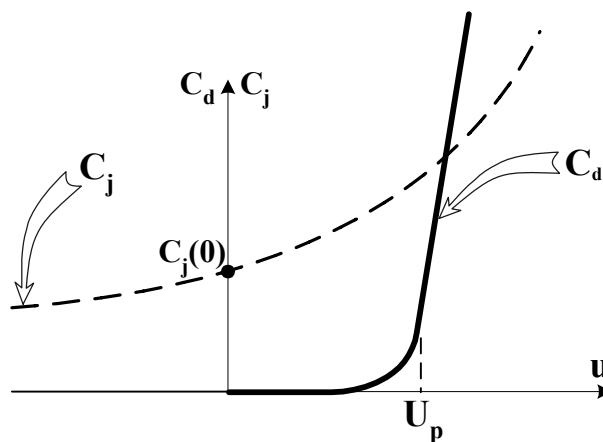
$$\boxed{C_d = \tau \cdot \frac{i + I_S}{U_T}} \quad \text{czyli} \quad \boxed{C_d \sim i} \quad (3.14)$$

- Pojemność złączowa (C_j)

$$C_j = \frac{C_{j0}}{\sqrt{1 - \frac{u}{U_B}}} \quad (3.16)$$

$$C_{j0} = C(u = 0)$$

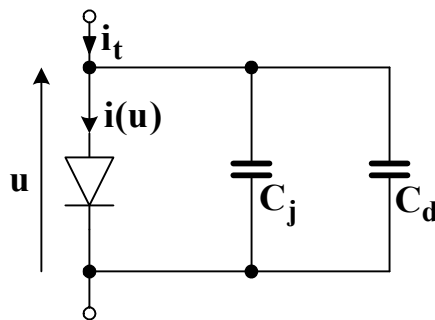
Zależność graficzna pojemności od napięcia na złączu



Rys. 3.11

Wielkosygnalowy dynamiczny model diody p-n

- postać symboliczna



Rys. 3.12

- postać analityczna

$$i_t = i(u) + (C_j + C_d) \cdot \frac{du}{dt}$$

Parametry małosygnałowe idealnego złącza p-n

Jak wynika z rozdz. 1 mały przyrost prądu I_a diody opisanej wzorem $i_A = f(u_{AB})$ wokół pkt. pracy o współrzędnych (I_0, U_0) jest równy różniczce funkcji opisującej zależność i od u .

$$I_a = \left. \frac{di}{du} \right|_p \cdot U_{ab} \quad (3.19)$$

gdzie przewodność dyfuzyjna:

$$g_d = \left. \frac{di}{du} \right|_{I_0, U_0} = \left. \frac{i + I_S}{U_T} \right|_{I_0} = \frac{I_0 + I_S}{U_T} \quad (3.20)$$

np.: dla $I_0 = 1 \text{ mA}$, $T = 300 \text{ K}$,

$$g_d = 40 \text{ mS}, r_d = 25 \Omega$$

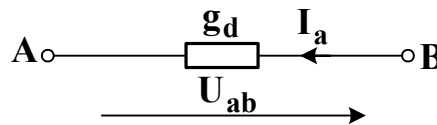
Rezystancja dyfuzyjna:

$$r_d = \frac{1}{g_d} \quad (3.21)$$

Przy polaryzacji zaporowej

$$I_0 = -I_S \rightarrow g_d = 0 \quad (3.22)$$

W analizie małosygnałowej konduktancja (rezystancja) dyfuzyjna może być przedstawiona za pomocą rezystora liniowego.



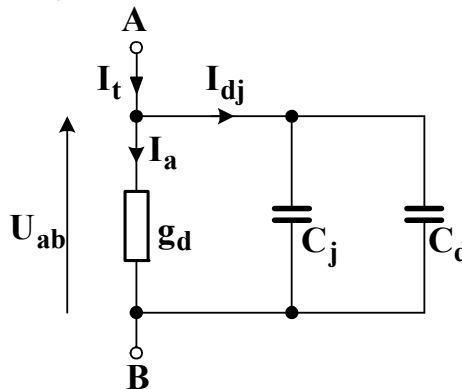
Rys. 3.13

A zatem dla małych amplitud sygnału harmonicznego można zapisać

$$U_{ab} = r_d \cdot I_a \quad (3.23)$$

Konduktancja dyfuzyjna opisuje związek między U_{ab} oraz I_a jaki ustali się po czasie $\gg \tau_p$ i τ_n .

- model małosygnałowy dla w. cz.



Rys. 3.14

Stąd

$$Y = g_d + j\omega(C_d + C_j) \quad (3.24)$$

gdzie

$$C_d \sim I_0$$

$$C_j = \frac{C_j(0)}{\sqrt{1 - \frac{U_0}{U_B}}}$$

dla przedstawionego modelu zachodzą związki

$$I_t = I_a + I_{dj} \quad (3.25a)$$

$$I_t = Y \cdot U_{ab} \quad (3.25b)$$

$$|I_t| = \sqrt{g_d^2 + \omega^2(C_d + C_j)^2} \cdot U_{ab} \quad (3.25c)$$

Właściwości diod rzeczywistych

■ Liniowy rozkład domieszek

- szerokości obszaru opróżnionego

$$d = \sqrt[3]{\frac{12\epsilon\epsilon_0}{q|a|} (U_B - u)} \sim \sqrt[3]{U_B - u} \quad (3.26)$$

- pojemności złączonej

$$C_j = \frac{C_{j0}}{\sqrt[3]{1 - \frac{u}{U_B}}} \quad (3.27)$$

■ Wysoki poziom wprowadzania (WPW)

Dla WPW:

$$i = I_{ws} \cdot \exp \frac{U}{nU_T} \quad (3.28)$$

gdzie: $n > 1$,

$$I_{ws} \gg I_S, \quad 1 < n < 2$$

Inny stosowany opis:

$$i = \frac{I_S}{1 + i/I_H} \exp \frac{u}{U_T} \quad (3.29)$$

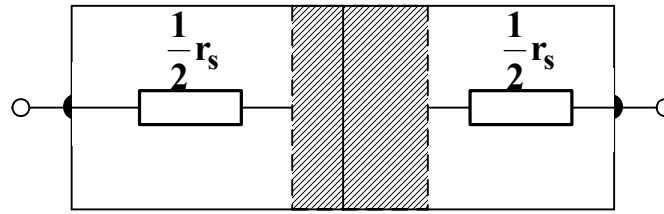
gdzie I_H – tzw. prąd kolana (prąd graniczny)

Jeżeli $i \gg I_H$ wówczas:

$$i \sim \exp \frac{u}{2U_T}$$

tzn. $n = 2$ we wzorze (3.28)

■ Rezystancja szeregowa diody

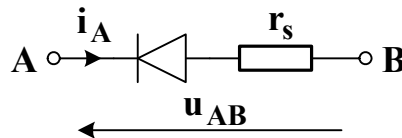


Rys. 3.15

$$i = I_S \left(\exp \frac{u - r_S i}{U_T} - 1 \right) \quad (3.31)$$

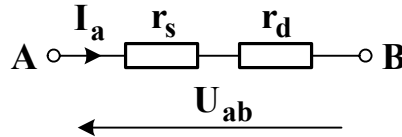
$$u = i r_S + U_T \ln \left(\frac{i}{I_S} + 1 \right) \quad (3.32)$$

- dla przypadku stałoprądowego



Rys. 3.16

- dla małego sygnału (po zróżniczkowaniu zależności (3.32))



Rys. 3.17

■ Procesy generacji i rekombinacji nośników w warstwie zaporowej złącza

- **generacja** – dla kierunku zaporowego, dodatkowa składowa prądu generacyjnego.

$$i_G = g \cdot n_i \cdot d(u) \quad (3.34)$$

$$i_G \sim \sqrt{U_B - u} \cdot \exp \left(- \frac{W_{g0}}{2kT} \right) \quad (3.35)$$

- **rekombinacja** – dla kierunku przewodzenia część nośników w obszarze bariery rekombinuje, stąd dodatkowa składowa prądu rekombinacyjnego I_R wynosi:

$$i_R = I_{RS} \cdot \exp \frac{u}{mU_T} \quad (3.37)$$

■ Zjawiska przebić złącza

- zjawisko Zenera
- zjawisko jonizacji zderzeniowej
(powielanie lawinowe → gdy duże napięcie)

$$\boxed{i_w = M \cdot i_0} \quad (3.39)$$

gdzie:

i_w – prąd wsteczny w zakresie powielania lawinowego

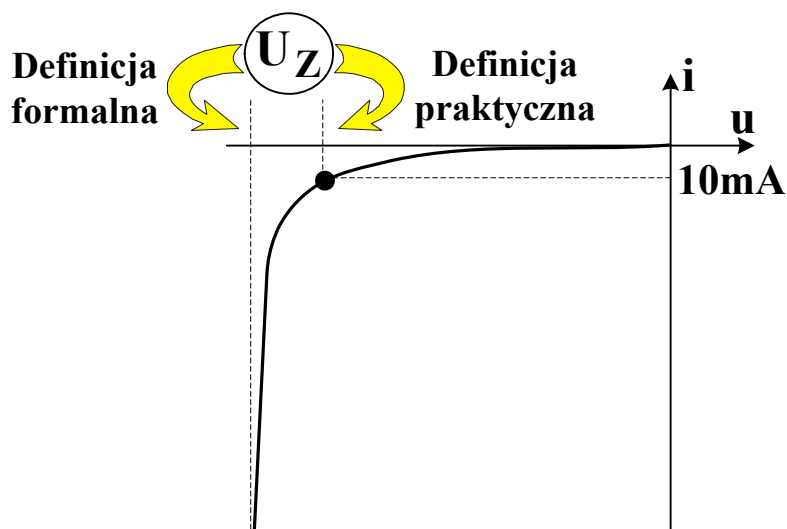
i_0 – prąd przy braku powielania

M – współczynnik powielania lawinowego (formalnie też zjawisko Zenera) o postaci:

$$\boxed{M = \frac{1}{1 - \left(\frac{u}{U_Z}\right)^\eta}} \quad (3.40)$$

U_Z – napięcie przebicia przy którym prąd $\rightarrow \infty$

η – zależy od rodzaju złącza $\eta \in (2, 6)$

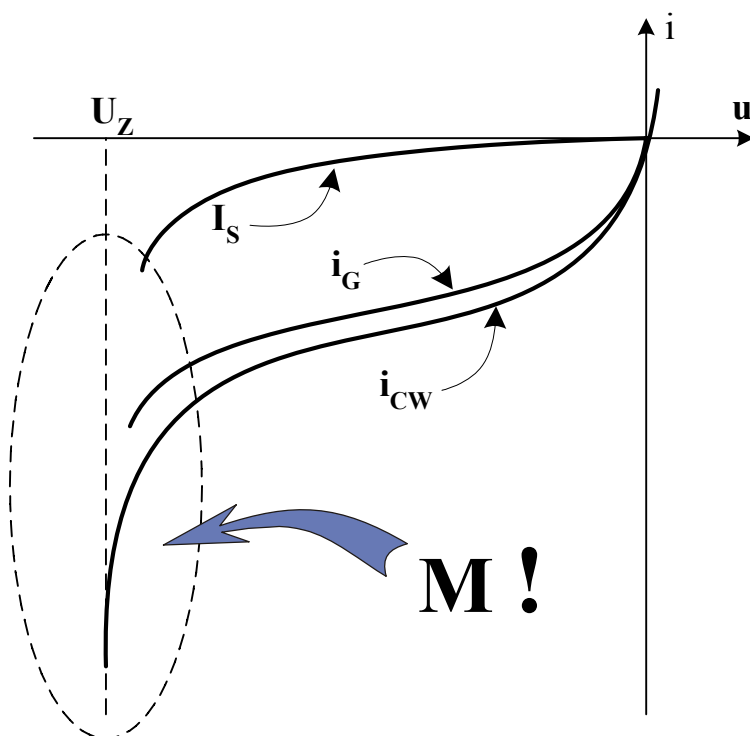


Rys. 3.18

Podsumowanie diod rzeczywistych

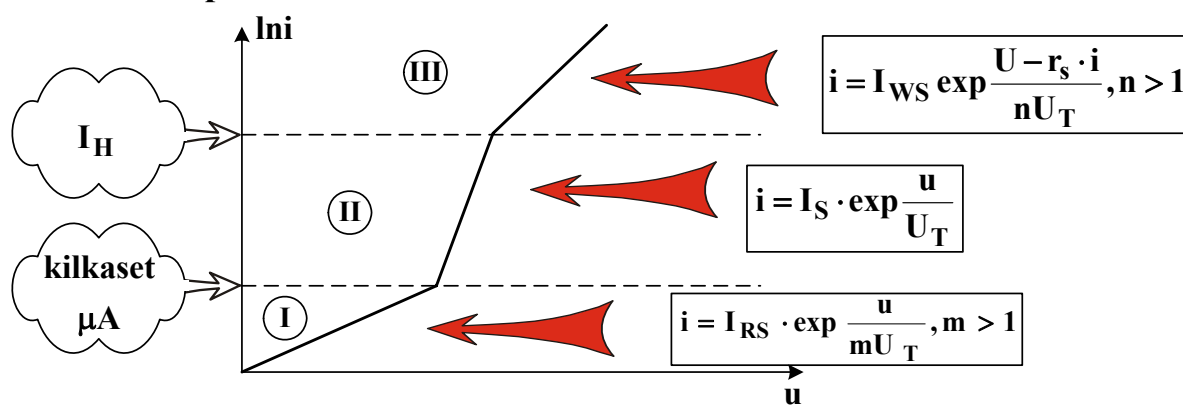
- Kierunek zaporowy

$$\boxed{i_{CW} = M \cdot (\overbrace{i_G}^{i_0} + I_S) + I_u} \quad (3.50)$$



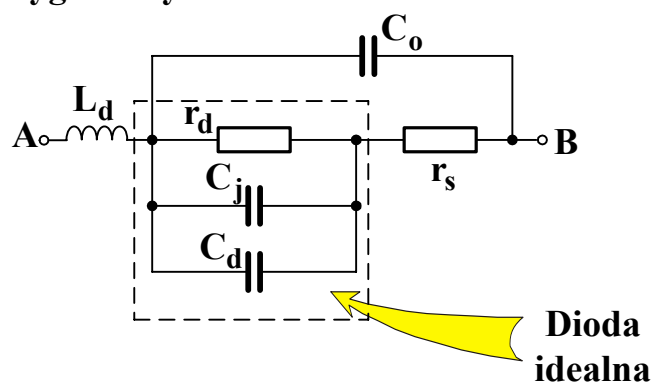
Rys. 17

• Kierunek przewodzenia



Rys. 3.20

• Model małosygnałowy



Rys. 3.21

Wpływ temperatury

■ Charakterystyka wsteczna

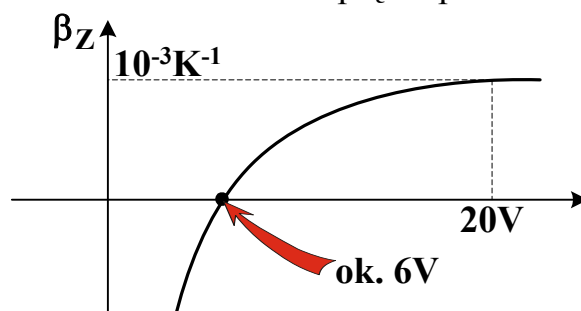
$$U_Z = U_{Z0} [1 + \beta_Z (T - T_0)] \quad (3.42)$$

$\beta_Z < 0$ – Przebiecie Zenera

$\beta_Z > 0$ – przebiecie lawinowe

$\beta_Z \approx 0$ dla $u \approx 6V$

$B_Z \approx 10^{-3} K^{-1} \approx \text{const.}$ – dla diod o napięciu przebiecia $U_Z > 20V$



Rys. 23

$$\gamma_{iG} = \frac{1}{i_G} \cdot \frac{di_G}{dT} = \frac{W_{g0}}{2kT^2} \quad (3.43)$$

dla krzemu ($T = 300 K$) \rightarrow $\gamma_{iG} \approx 8 \% K^{-1}$

$$\gamma_{IS} = \frac{1}{I_S} \cdot \frac{dI_S}{dT} = \frac{W_{go}}{kT^2} \quad (3.44)$$

■ Kierunek przewodzenia

$$i = A \exp \frac{u - U_{go}}{U_T} \quad (3.47)$$

$$\ln \frac{i}{A} = \frac{u - U_{go}}{U_T}$$

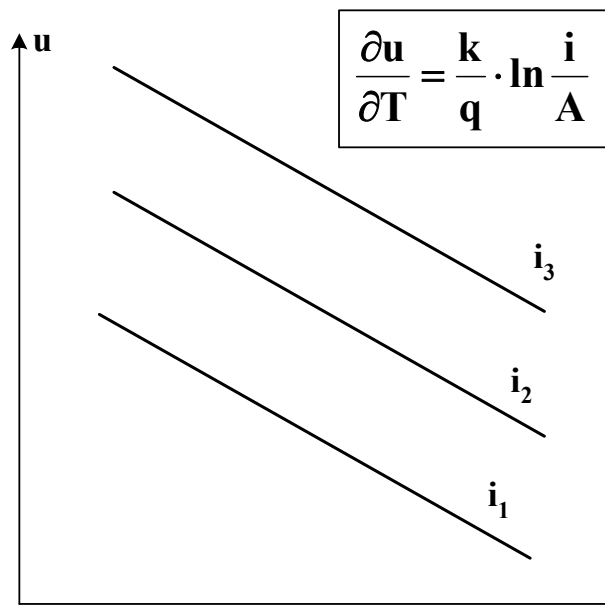
stąd:

$$u = \frac{kT}{q} \ln \frac{i}{A} + U_{go}$$

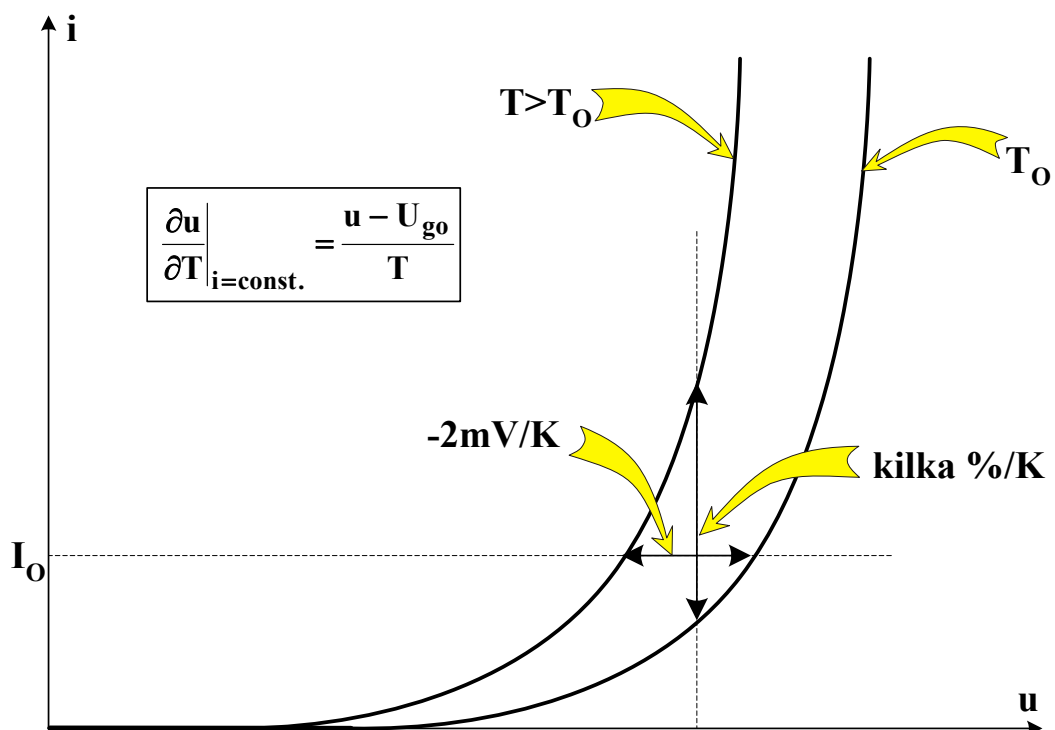
Ostatecznie:

$$\frac{\partial u}{\partial T} = \frac{k}{q} \ln \frac{i}{A} = \frac{u - U_{g0}}{T}$$

Graficzna interpretacja zależności



Rys. 3.24



Rys. 3.25

■ Parametry małosygnałowe

$$g_d = \frac{I_0 + I_S}{U_T}$$

$$C_d = \tau \cdot g_d$$

Pojemność $C_j = \frac{C_{j0}}{\sqrt{1 - u/U_B}}$ zależy od temperatury poprzez

$$U_B = \frac{kT}{q} \ln \frac{N_A N_D}{n_i^2}$$

- Dopuszczalna temperatura złącza

$$T_j = T_a + R_{th} \cdot P$$

$$P_{max} = \frac{T_{jmax} - T_a}{R_{th}}$$

Zasady analizy układu z elementami półprzewodnikowymi

A) Obliczanie składowej stałej napięcia/prądu

Usunąć źródła zmiennoprądowe $\Rightarrow U_m, I_m = 0$

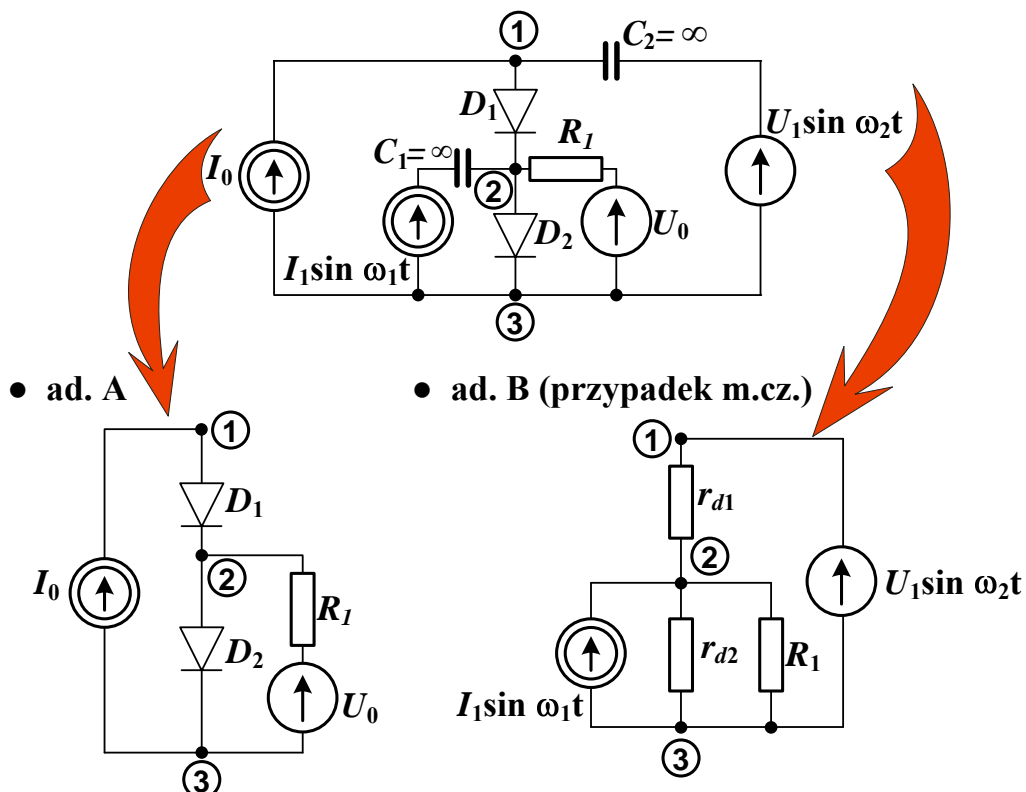
B) Obliczanie składowej zmiennej napięcia/prądu

Model małosygnałowy układu (zasada tworzenia):

- elementy nieliniowe układu zastępujemy odpowiednimi modelami małosygnałowymi tych elementów
- zwieramy źródła napięcia stałego
- rozwieramy źródła prądu stałego
- pozostałe elementy pozostawiamy bez zmian

Przykład

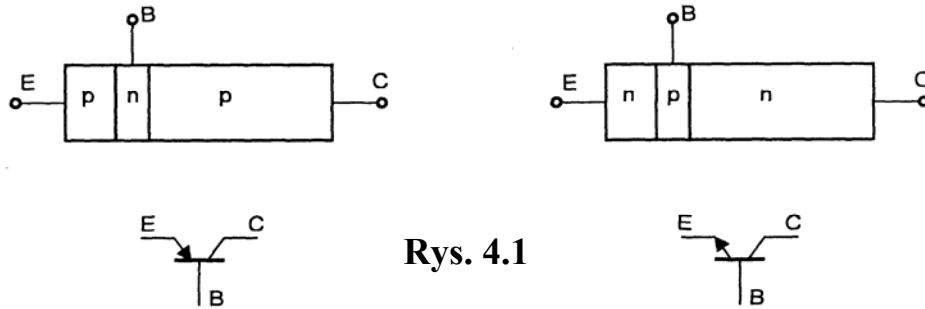
- Analizowany układ nieliniowy



IV. Tranzystor bipolarny

(BJT – Bipolar Junction Transistor)

Budowa BJT

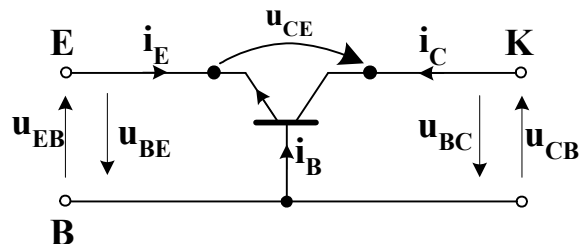


Rys. 4.1

Zakres pracy

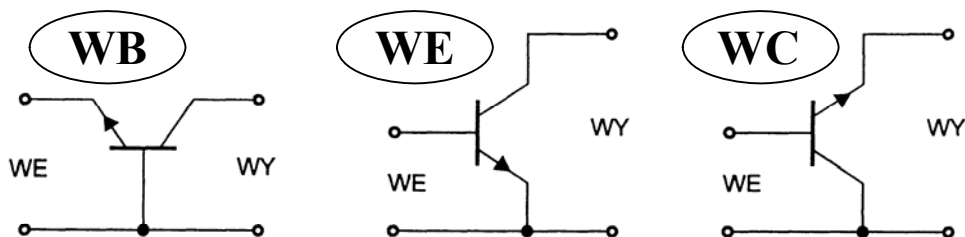
- **aktywny normalny**, w którym złącze emitowane jest spolaryzowane przewodząco, kolektorowe – zaporowo,
- **nasycenia**, w którym oba złącza są spolaryzowane przewodząco,
- **odcięcia**, w którym oba złącza są spolaryzowane zaporowo,
- **aktywny inwersyjny**, w którym złącze kolektorowe jest spolaryzowane przewodząco, emiterowe – zaporowo,

Oznaczenia prądów i napięć



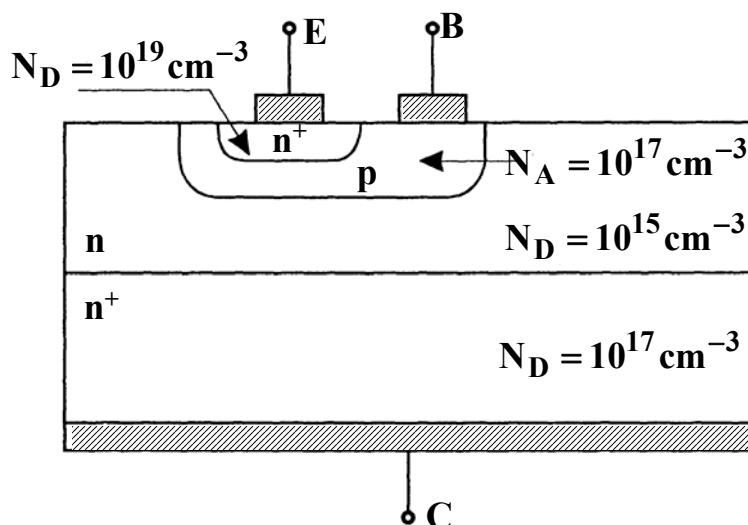
Rys. 4.2

Konfiguracja pracy



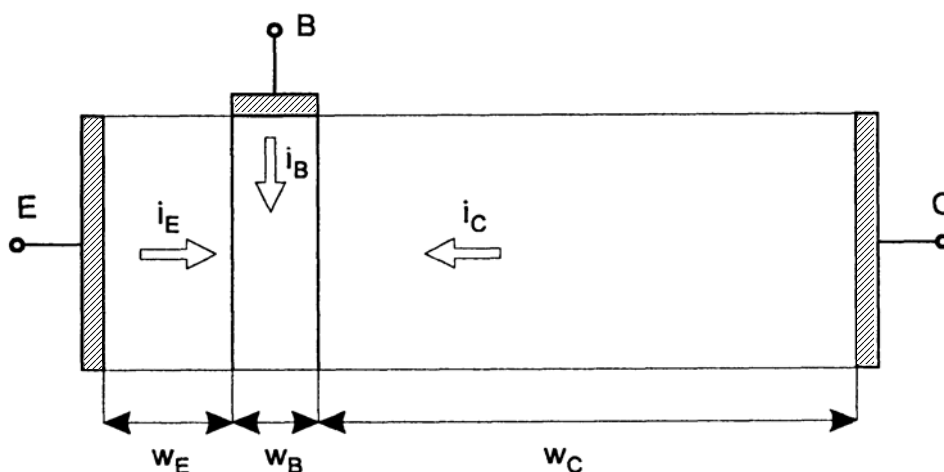
Rys. 4.3

Wytwarzanie BJT



Rys. 4.4

■ Charakterystyki statyczne idealnego tranzystora bipolarnego



Rys. 4.5

Zasadnicze założenia upraszczające to:

- zjawiska mają charakter jednowymiarowy, z wyjątkiem obszaru bazy,
- występuje niski poziom wprowadzania nośników nadmiarowych,
- pomija się rezystywność obszarów neutralnych,
- w warstwach zaporowych nie zachodzą żadne procesy generacji i rekombinacji,
- pomija się zjawiska przebieć złącz,
- szerokości poszczególnych obszarów są stałe, równe odległościom między złączami metalurgicznymi,

Zależności (charakterystyki) statyczne dla zakresu aktywnego–normalnego

■ Konfiguracja WB

Charakterystyka wejściowa: $i_E(u_{BE})$

$$i_E(u_{BE}) = -I_{ES} \left(\exp \frac{u_{BE}}{U_T} - 1 \right) \quad (4.1)$$

Charakterystyka przenoszenia: $i_C(i_E)$

$$i_C(i_E) = -\alpha \cdot i_E + I_{CBO} \quad (4.2)$$

$$I_{CBO} = i_C(i_E = 0) \quad (4.3)$$

Wpływ konstrukcji tranzystora na jego własności wzmacniające

$$\alpha = - \frac{i_C}{i_E} \Big|_{u_{CB}=0} \quad (4.4)$$

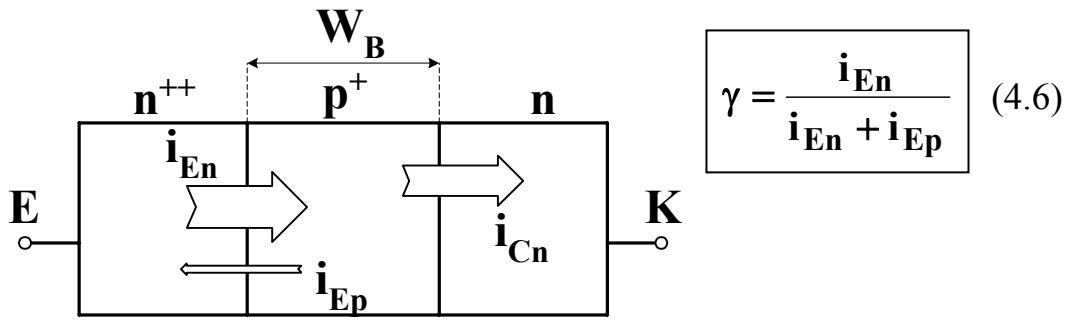
$$\alpha = \gamma \cdot \delta \quad (4.5)$$

gdzie:

γ – sprawność wstrzykiwania (injekcji) emitera,

δ - współczynnik transportu nośników przez bazę.

- Parametr γ zdefiniowany jest następująco dla tranzystora npn:



Rys. 4.6

- Parametr δ jest zdefiniowany następująco:

$$\delta = \frac{i_{Cn}}{i_{En}} \quad (4.7)$$

$$\delta = 1 - \frac{w_B^2}{a \cdot L_B^2} \quad (4.8)$$

gdzie:

w_B – szerokość bazy,

L_B – długość drogi dyfuzji nośników mniejszościowych w bazie.

Typowe wartości współczynnika α .

$$\alpha \in (0.98, 0.999)$$

Konfiguracja WE

$$\begin{cases} i_C = \alpha i_E + I_{CBO} \\ i_C + i_E + i_B = 0 \end{cases} \quad (4.9a)$$

$$i_C = \beta \cdot i_B + I_{CEO} \quad (4.10)$$

gdzie:

$$\beta = \frac{\alpha}{1 - \alpha} \quad (4.11)$$

$$I_{CEO} = (\beta + 1) \cdot I_{CBO} \quad (4.12)$$

$$\beta = \left. \frac{i_C}{i_B} \right|_{u_{CB}=0} \quad (4.13)$$

Typowe wartości:

β – od kilkudziesięciu do kilkuset.

Prąd zerowy kolektora dla konfiguracji WE określony jest jako:

$$I_{CEO} = i_C(i_B = 0) \quad (4.14)$$

- Charakterystyka wejściowa $i_B(u_{BE})$ jest klasyczną charakterystyką złącza pn w postaci:

$$i_B(u_{BE}) = I_{BS} \cdot \left(\exp \frac{u_{BE}}{U_T} - 1 \right) \quad (4.15)$$

gdzie $I_{BS} = \frac{I_{ES}}{\beta + 1} \quad (4.15a)$

Charakterystyki statyczne dla dowolnego zakresu pracy (model Ebersa–Molla)

Zakłada się, iż prąd każdego złącza w tranzystorze stanowi superpozycję prądu własnego oraz prądu zbieranego, wstrzykniętego przez drugie złącze.

$$i_C = \alpha_N \cdot i_{EW} - i_{CW} \quad (4.16)$$

$$i_E = \alpha_I \cdot i_{CW} - i_{EW} \quad (4.17)$$

gdzie:

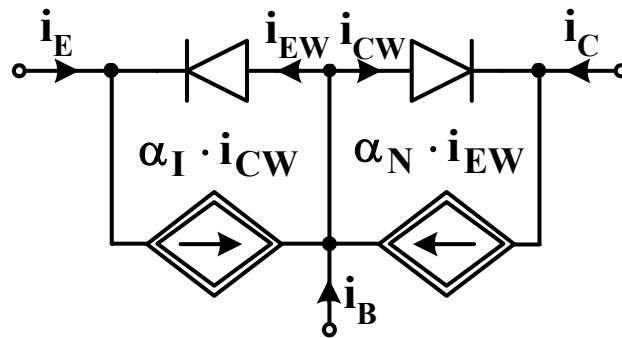
$$i_{EW} = I_{ES} \cdot \left(\exp \frac{u_{BE}}{U_T} - 1 \right) \quad (4.18)$$

$$i_{CW} = I_{CS} \cdot \left(\exp \frac{u_{BC}}{U_T} - 1 \right) \quad (4.19)$$

- Stąd pełna postać modelu

$$\begin{aligned} i_C &= \alpha_N \cdot I_{ES} \left(\exp \frac{u_{BE}}{U_T} - 1 \right) - I_{CS} \cdot \left(\exp \frac{u_{BC}}{U_T} - 1 \right) \\ i_E &= \alpha_I \cdot I_{CS} \left(\exp \frac{u_{BE}}{U_T} - 1 \right) - I_{ES} \cdot \left(\exp \frac{u_{BC}}{U_T} - 1 \right) \end{aligned}$$

- Schemat zastępczy odpowiadający omawianemu modelowi tranzystora przedstawiono na rys. 4.7.



Rys. 4.7

- **Model E-M** często przedstawia się w następującej postaci:

$$i_E = -A_{11} \cdot B_E + A_{12} \cdot B_C \quad (4.20)$$

$$i_C = A_{21} \cdot B_E - A_{22} \cdot B_C \quad (4.21)$$

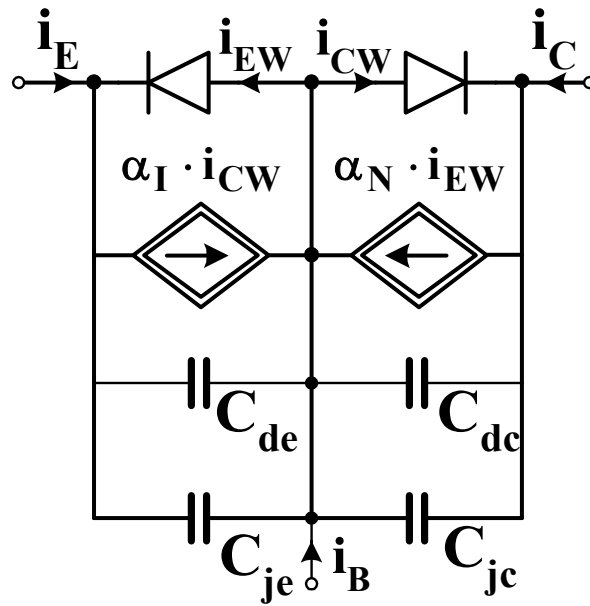
gdzie $[A]$ – parametry mające wymiar prądu,

$$B_E = \exp \frac{u_{BE}}{U_T} - 1 \quad B_C = \exp \frac{u_{BC}}{U_T} - 1$$

- **Charakterystyki przenoszenia**

$$i_C(u_{BE}) = A_{21} \cdot \exp \frac{u_{BE}}{U_T} \quad (4.23)$$

■ Dynamiczny model Elbersa-Molla



Rys. 4.8

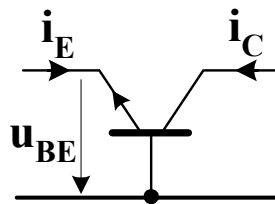
$$C_{de} = \tau \cdot \frac{i_{EW}}{U_T} \sim i_{EW} \quad (4.25)$$

$$C_{je} = C_{je0} \left(1 - \frac{u_{BE}}{U_{B1}} \right)^{-1/2} \quad (4.26)$$

Model małosygnalowy (idealny BJT)

■ Przypadek $\omega \rightarrow 0$

Konfiguracja WB



Rys. 4.9

Dla konfiguracji **WB** można zapisać następujące równanie dla obwodu wejściowego:

$$I_e = g_{eb} \cdot U_{eb} \quad (4.27)$$

gdzie:

$$g_{eb} = \frac{di_E}{du_{EB}} \quad (4.28)$$

$$i_E = -I_{ES} \left(\exp \frac{u_{BE}}{U_T} - 1 \right)$$

$$g_{eb} = \frac{-i_E}{U_T} \quad (4.29)$$

$$I_c = -\alpha \cdot I_e \quad (4.30)$$

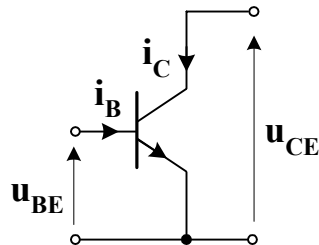
$$I_c = -g_m \cdot U_{eb} \quad (4.31)$$

$$g_m = \frac{di_C}{du_{BE}} \quad (4.33)$$

$$g_m = \frac{i_C}{U_T} \quad (4.33)$$

$$g_m = \alpha \cdot g_{eb} \quad (4.34)$$

Konfiguracja WE



Rys. 4.10

$$I_b = g_{be} \cdot U_{be} \quad (4.35)$$

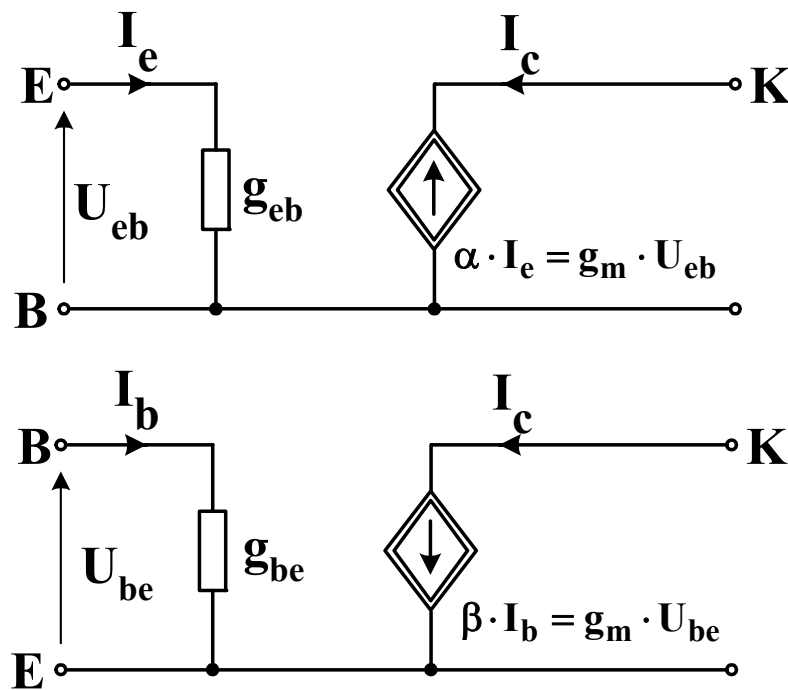
$$g_{be} = \frac{di_B}{du_{BE}} \quad (4.36)$$

$$g_{be} = \frac{i_B}{U_T} \quad (4.37)$$

gdy: $i_C = \beta \cdot i_B + I_{CEO}$
 to $I_c = \beta \cdot I_b$ (4.38)

gdy: $i_C = A_{21} \cdot \exp \frac{u_{BE}}{U_T}$
 to $I_c = g_m \cdot U_{be}$ (4.39)

$g_m = \beta \cdot g_{be}$ (4.41)

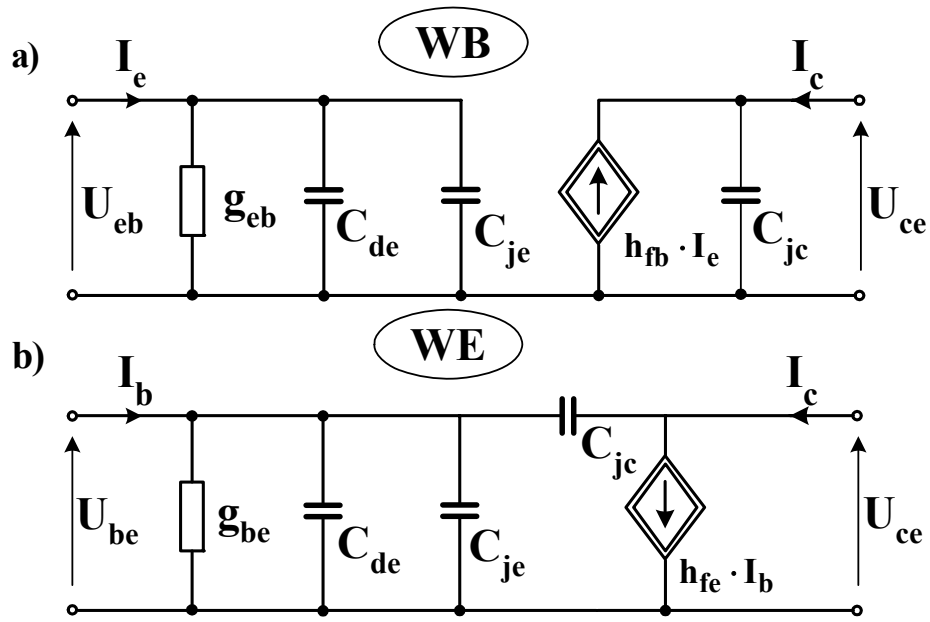


Rys. 4.11

■ Przypadek: $\omega \gg 0$

$$C_{je} = C_{je0} \left(1 - \frac{U_{BE}}{U_{B1}} \right)^{-1/2} \quad (4.41)$$

$$C_{de} = \tau \cdot g_{eb} \quad (4.42)$$



Rys. 4.12

Dla konfiguracji WB

$$h_{fb} = \left. \frac{-I_c}{I_e} \right|_{U_{cb}=0} \quad (4.43)$$

$$h_{fb} = \frac{g_m}{g_{eb} + j\omega \cdot (C_{de} + C_{je})} \quad (4.44)$$

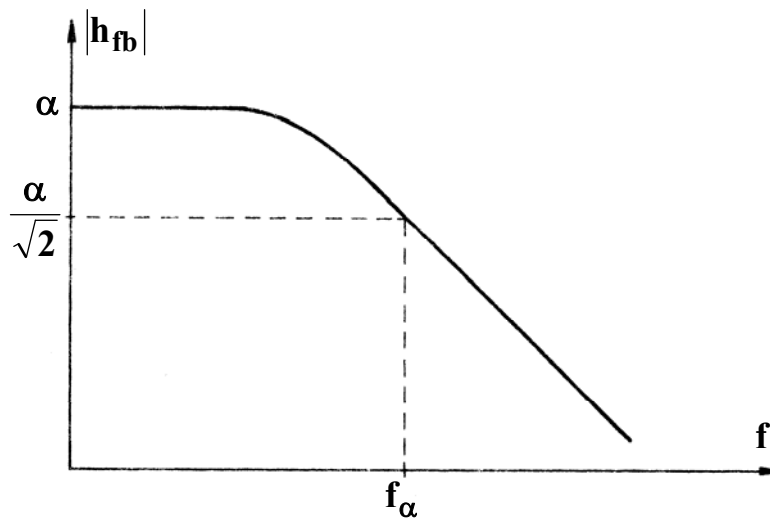
$$h_{fb} = \frac{\alpha}{1 + j \cdot \frac{f}{f_\alpha}} \quad (4.45)$$

gdzie:

$$f_\alpha = \frac{g_{eb}}{2\pi \cdot (C_{de} + C_{je})} \quad (4.46)$$

$$|h_{fb}| = \frac{\alpha}{\sqrt{1 + \left(\frac{f}{f_\alpha}\right)^2}} \quad (4.47)$$

• Charakterystyka częstotliwościowa $|h_{fb}|$



Rys. 4.13

Dla konfiguracji WE

$$h_{fe} = \frac{I_c}{I_b} \Big|_{U_{ce}=0} \quad (4.48)$$

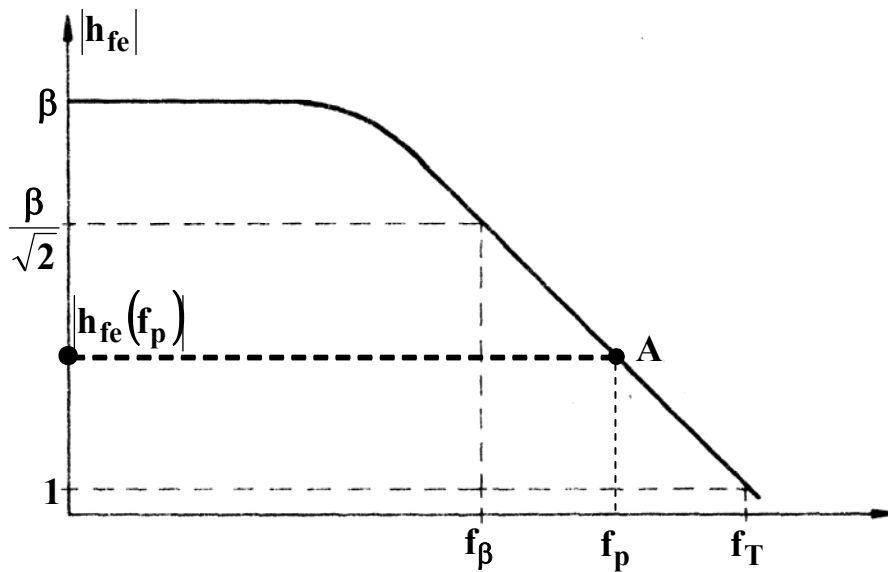
$$h_{fe} = \frac{\beta}{1 + j \cdot \frac{f}{f_\beta}} \quad (4.49)$$

gdzie:

$$f_\beta = \frac{g_m}{2\pi \cdot (C_{de} + C_{je} + C_{jc})} \quad (4.50)$$

$$|h_{fe}| = \frac{\beta}{\sqrt{1 + \left(\frac{f}{f_\beta}\right)^2}} \quad (4.51)$$

- Charakterystyka częstotliwościowa $|h_{fe}|$



Rys. 4.14

$$f_T = |h_{fe}(f_p)| \cdot f_p$$

$$f_T \cong \beta \cdot f_\beta$$

$$f_T \cong f_\alpha$$

(4.52)

f_T – rzędu kilkuset megaherców

■ Parametry czwórnikowe



Rys. 4.14

- równania impedancyjne

$$U_1 = z_{11} \cdot I_1 + z_{12} I_2$$

$$U_2 = z_{21} \cdot I_1 + z_{22} I_2$$

(4.53)

lub

$$\begin{bmatrix} U_1 \\ U_2 \end{bmatrix} = \begin{bmatrix} z_{11} & z_{12} \\ z_{21} & z_{22} \end{bmatrix} \cdot \begin{bmatrix} I_1 \\ I_2 \end{bmatrix} = [z] \cdot [I] \quad (4.53a)$$

- równanie admitancyjne

$$\begin{aligned} I_1 &= y_{11}U_1 + y_{12}U_2 \\ I_2 &= y_{21}U_1 + y_{22}U_2 \end{aligned} \quad (4.54)$$

lub

$$\begin{bmatrix} I_1 \\ I_2 \end{bmatrix} = \begin{bmatrix} y_{11} & y_{12} \\ y_{21} & y_{22} \end{bmatrix} \cdot \begin{bmatrix} U_1 \\ U_2 \end{bmatrix} = [y] \cdot [U] \quad (4.54a)$$

- równie hybrydowe

$$\begin{aligned} U_1 &= h_{11}I_1 + h_{12}U_2 \\ I_2 &= h_{21}I_1 + h_{22}U_2 \end{aligned} \quad (4.55)$$

lub

$$\begin{bmatrix} U_1 \\ I_2 \end{bmatrix} = \begin{bmatrix} h_{11} & h_{12} \\ h_{21} & h_{22} \end{bmatrix} \begin{bmatrix} I_1 \\ U_2 \end{bmatrix} = [h] \cdot \begin{bmatrix} I_1 \\ U_2 \end{bmatrix} \quad (4.55a)$$

- parametry $[z]$ – mierzone w warunkach rozwarci wejścia lub wyjścia

$$\text{np.} \quad z_{11} = \left. \frac{U_1}{I_1} \right|_{I_2=0} \quad (4.56a)$$

- parametry $[y]$ - mierzone przy zwarcu wejścia lub wyjścia

$$\text{np.} \quad y_{11} = \left. \frac{I_1}{U_1} \right|_{U_2=0} \quad (4.56b)$$

- parametry $[h]$ – mierzone przy rozwarciu wejścia lub zwarcu wyjścia

$$\text{np.} \quad h_{11} = \left. \frac{U_1}{I_1} \right|_{U_2=0} \quad (4.56c)$$

• Definicje parametrów [h] oraz [y]

$$h_{11} = \left. \frac{U_1}{I_1} \right|_{U_2=0} \quad - \quad \text{impedancja wejściowa}$$

$$h_{12} = \left. \frac{U_1}{U_2} \right|_{I_1=0} \quad - \quad \text{współczynnik oddziaływania zwrotnego}$$

$$h_{21} = \left. \frac{I_2}{I_1} \right|_{U_2=0} \quad - \quad \text{współczynnik wzmocnienia prądowego}$$

$$h_{22} = \left. \frac{I_2}{U_2} \right|_{I_1=0} \quad - \quad \text{admitancja wyjściowego}$$

oraz

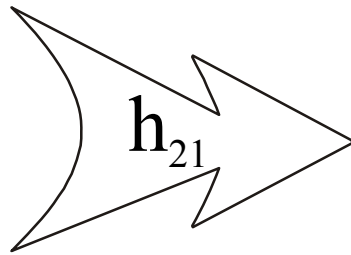
$$y_{11} = \left. \frac{I_1}{U_1} \right|_{U_2=0} \quad - \quad \text{admitancja wejściowa}$$

$$y_{12} = \left. \frac{I_1}{U_2} \right|_{U_1=0} \quad - \quad \text{admitancja zwrotna}$$

$$y_{21} = \left. \frac{I_2}{U_1} \right|_{U_2=0} \quad - \quad \text{admitancja przejściowa (transadmitancja)}$$

$$y_{22} = \left. \frac{I_2}{U_2} \right|_{U_1=0} \quad - \quad \text{admitancja wyjściowa}$$

- **Oznaczenia i wartości parametrów**



w układzie WB – α (ok. 0,99)
w układzie WE – β (ok.100)
w układzie WC – $(\beta+1)$

Rodzaj układu włączenia jest oznaczony indeksem literowym:

b – dla układu WB

e – dla układu WE

c – dla układu WC

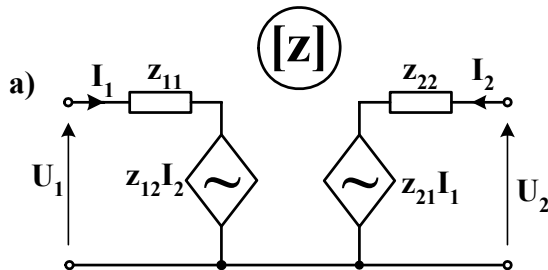
Parametry czwórnikowe a parametry fizyczne

- elementy macierzy [h] dla $\omega \rightarrow 0$

$$h_{11e} = r_{be}, \quad h_{12e} = 0, \quad h_{21e} = \beta, \quad h_{22e} = 0$$

- elementy macierzy [y] (admitancja wejściowa i wyjściowa) dla $\omega \gg 0$

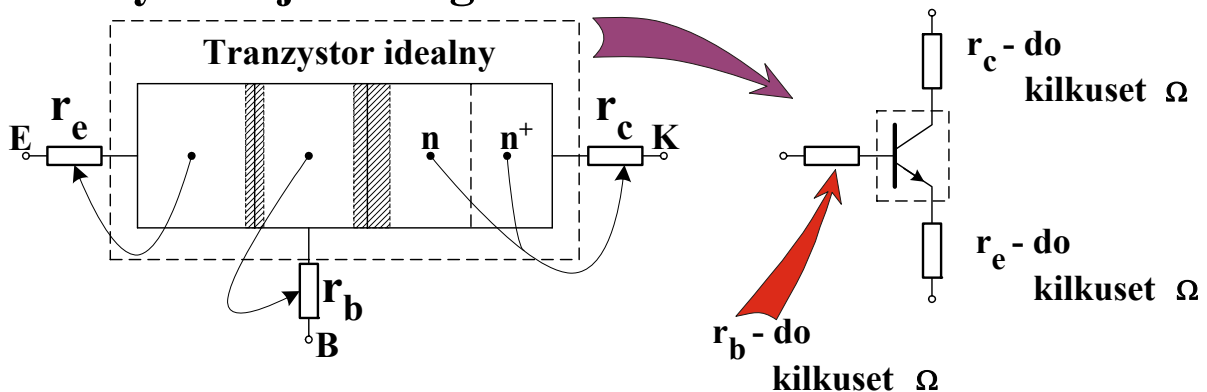
$$y_{11e} = g_{be} + j\omega \cdot (C_{de} + C_{je} + C_{jc}), \quad y_{22e} = j\omega \cdot C_{jc}$$



Rys. 4.17

Tranzystor rzeczywisty

■ Rezystancje szeregowe



Rys. 4.18

$r_b = \text{kilkanaście do ok. } 200 \, \Omega$

$r_c \approx \text{kilka } \Omega$

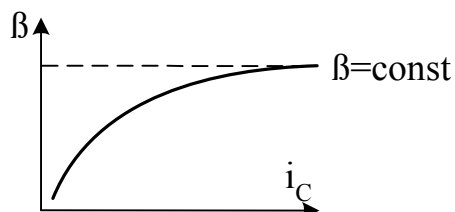
$r_e \approx \text{ułamek } \Omega$

■ Małe gęstości prądu

- Zjawisko rekombinacji w złączu przewodzącym (złącze E-B).

$$i_B = (A_{11} - A_{21}) \exp \frac{u_{BE}}{U_T} + \underbrace{B \cdot \exp \frac{u_{BE}}{m \cdot U_T}}_{\text{składowa rekombinacyjna}} \quad (4.57a)$$

$$i_C = A_{21} \cdot \exp \frac{u_{BE}}{U_T} \quad (4.57b)$$



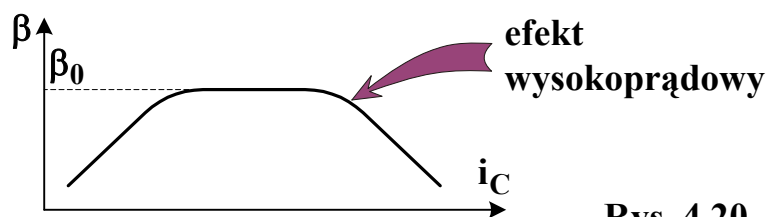
Rys. 4.20

$$\frac{1}{\beta} = \frac{1}{\beta_i} + \frac{C}{i_C^M}$$

(4.58)

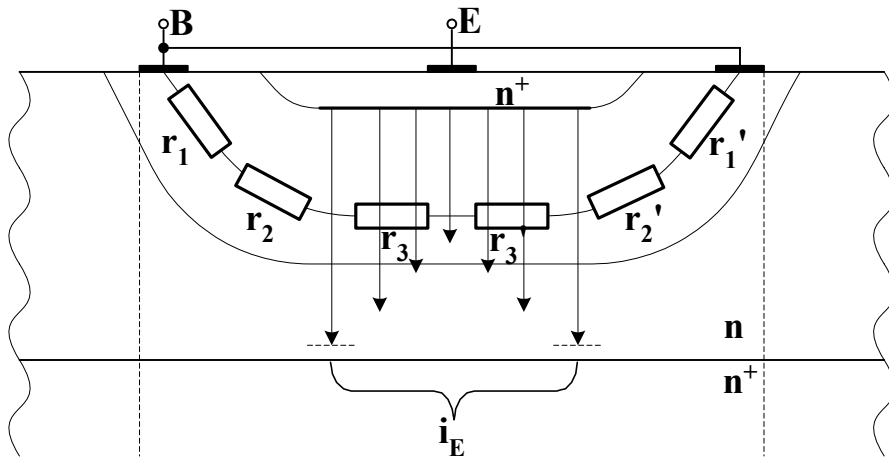
■ Duże gęstości prądu

- modulacja konduktywności bazy
- zagęszczanie prądu emitera
- rozszerzanie bazy (efekt Kirke'a)
- quasinasylenie
- samonagrzewanie



Rys. 4.20

- **Zagęszczanie prądu emitera**



Rys. 4.21

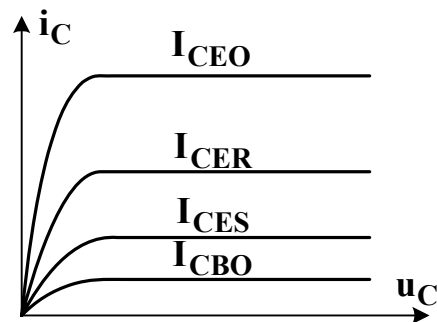
■ Prądy zerowe

- **Ogólna definicja**

Prądem zerowym nazywa się prąd płynący przez tranzystor włączony w układzie dwójnika, tj. przy polaryzacji dwu końcówek, bez oddzielnej polaryzacji końcówki trzeciej.

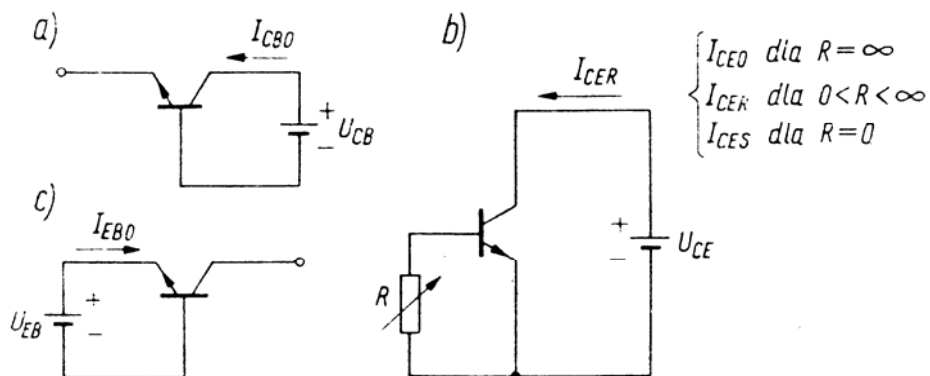
- **Znaczenie indeksu trójliterowego**

- zwarcie (s – short)
- rozwarcie (o – open)
- rezystor (R)



Rys. 4.23

Przykłady:



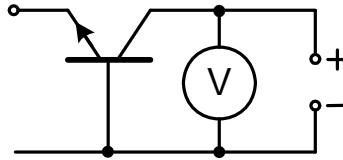
Rys. 4.22

■ Zjawiska przebić

Konfiguracja WB

Przypadek: $i_E = 0$

- dla złącza kolektorowego



Rys. 4.24

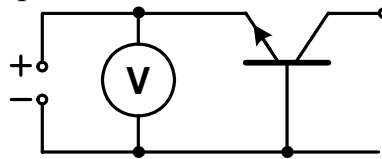
określa się napięcie U_{CBO} – przebiecie lawinowe

$U_{CBO} \in (\text{kilkadziesiąt} - \text{kilkaset voltów})$

- dla złącza emiterowego

określa się napięcie U_{EBO} – przebiecie Zenera

$$U_{EBO} \leq 10V$$



Rys. 4.25

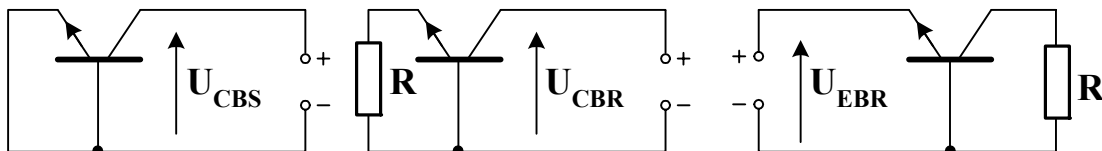
Przypadek: $i_E \neq 0$

$$I_C = (\alpha i_E + I_{CBO}) \cdot M \quad (4.59)$$

gdzie

$$M = \frac{1}{1 - \left(\frac{u_{CB}}{U_{CBO}} \right)^\eta} \quad \eta \in (2,6)$$

dla dowolnego $i_E \rightarrow U_{BR} = U_{CBO}$



Rys. 4.26

$$i_E \sim \frac{dn_p}{dx}$$

$$\left. \frac{dn_p}{dx} \right|_a < \left. \frac{dn_p}{dx} \right|_b$$

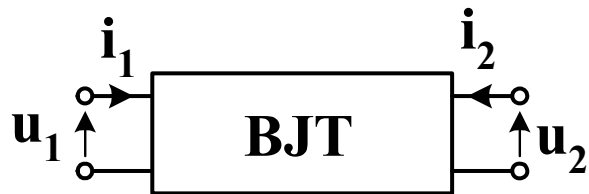
$$i_E(u_{CB}') < i_E(u_{CB}'')$$

$$u_{CB} \uparrow \text{ to } i_E \uparrow \text{ oraz } \beta \uparrow \text{ to } i_C \uparrow \uparrow$$

• Statyczna charakterystyka wyjściowa

$$i_C(u_{CE}, i_B) = \beta \cdot i_B \cdot \left\{ 1 + \frac{u_{CE}}{U_E} \right\} \quad (4.65)$$

Charakterystyki statyczne



Rys. 4.30

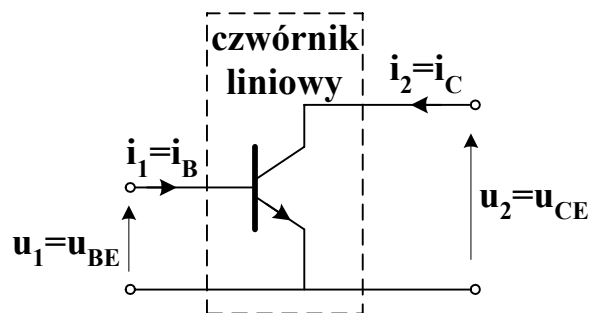
$$\begin{aligned} u_1 &= g_1(i_1, u_2) \\ i_2 &= g_2(i_1, u_2) \end{aligned} \quad (4.66)$$

Otrzymujemy więc:

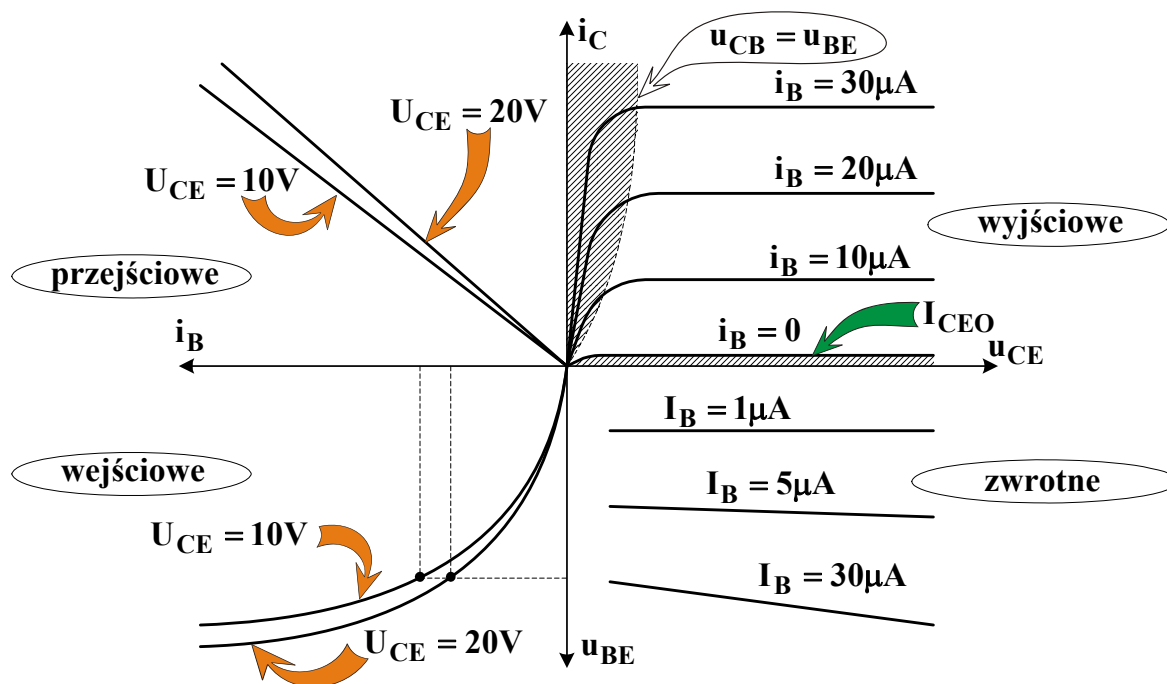
$u_1 = f_1(i_1)_{u_2 = \text{const.}}$	charakterystyka wejściowa
$u_1 = f_2(u_2)_{i_1 = \text{const.}}$	charakterystyka zwrotna
$i_2 = f_3(i_1)_{u_2 = \text{const.}}$	charakterystyka przejściowa
$i_2 = f_4(u_2)_{i_1 = \text{const.}}$	charakterystyka wyjściowa

■ Charakterystyki – konfiguracja WE

$u_{BE} = f_1(i_B)_{u_{CE}}$	wejściowa
$u_{BE} = f_2(u_{CE})_{i_B}$	zwrotna
$i_C = f_3(i_B)_{u_{CE}}$	przejściowa
$i_C = f_4(u_{CE})_{i_B}$	wyjściowa

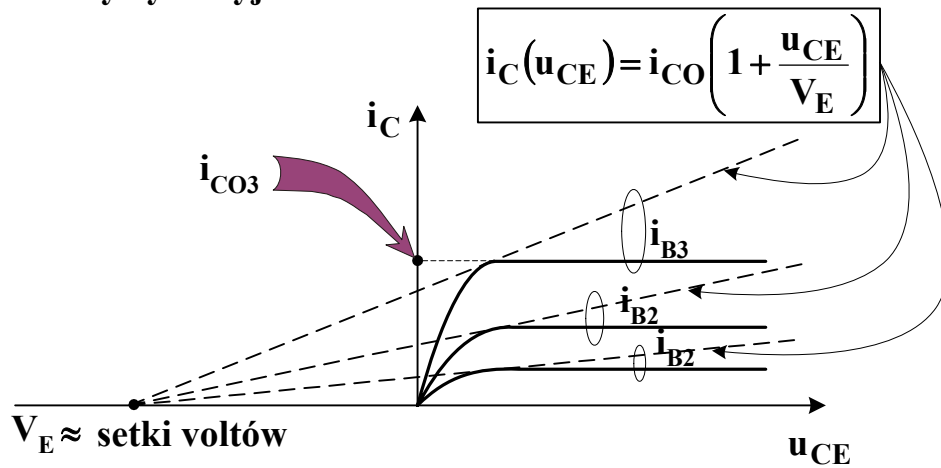


Rys. 4.31



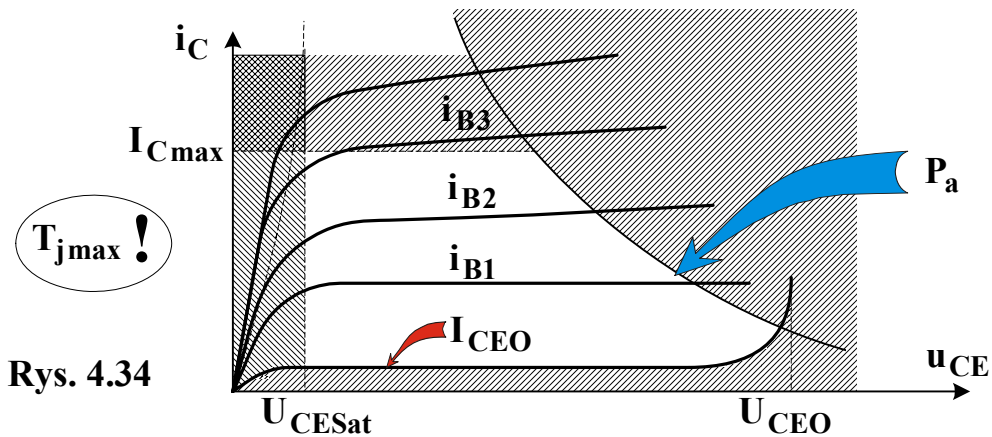
Rys. 4.32

- Charakterystyki wyjściowe



Rys. 4.33

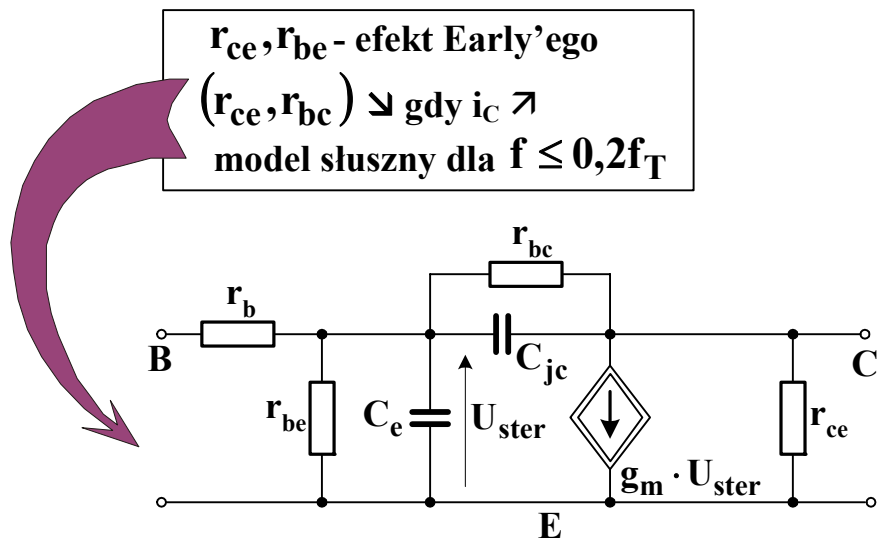
■ Obszar bezpiecznej pracy (SOA)



Rys. 4.34

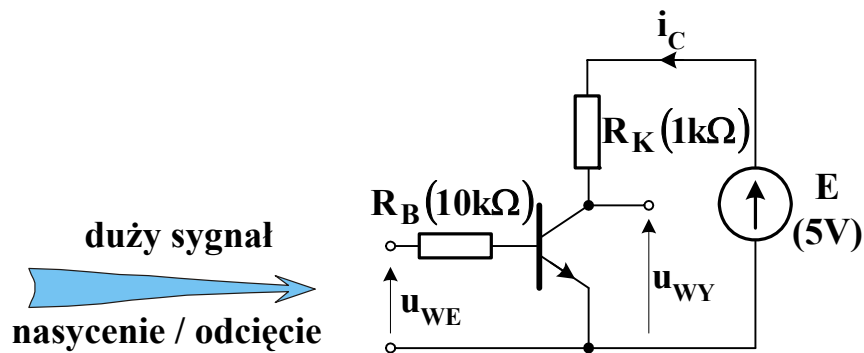
- Z rysunku wynika pięć ograniczeń wyrażonych poprzez dopuszczalne parametry katalogowe. Są to:
- moc admisyjna (P_a)
- prąd maksymalny (I_{Cmax})
- prąd zerowy, tzn. granica między zakresem aktywnym i odcięcia (I_{CEO})
- napięcie maksymalne (U_{CEO})
- napięcie nasycenia (U_{CESat})

■ Model małosygnałowy



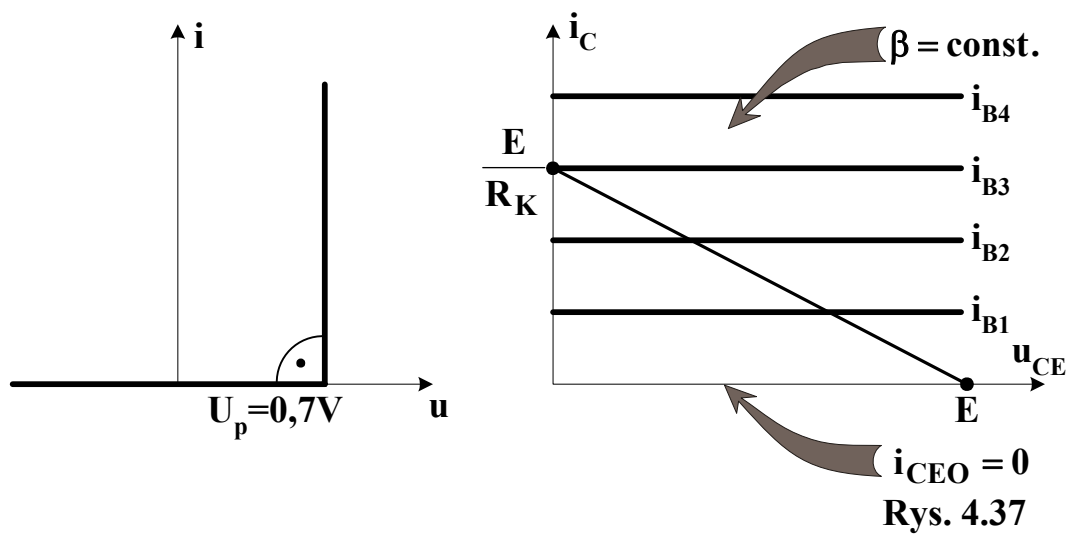
Rys. 4.35

■ Praca BJT w charakterze przełącznika

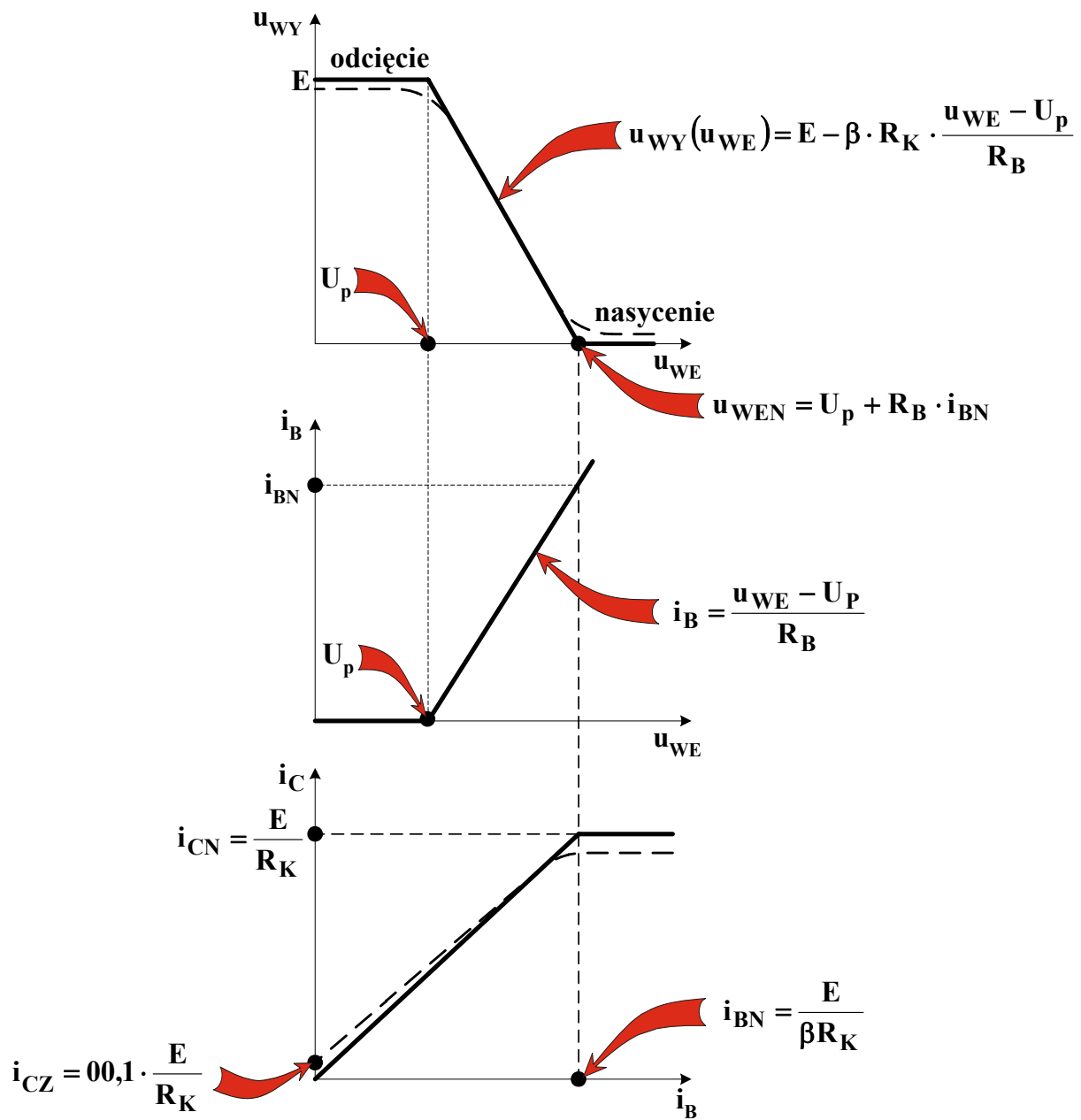


Rys. 4.36

■ Analiza statyczna

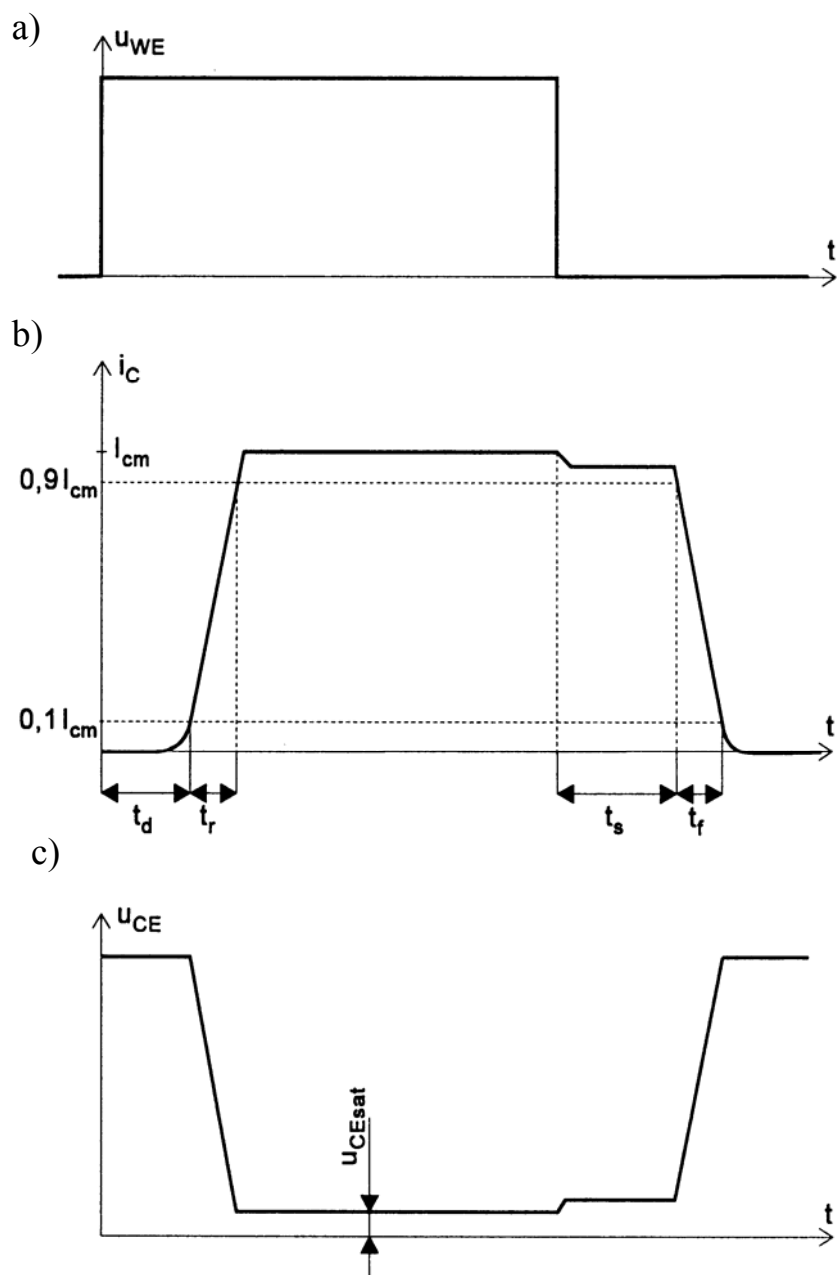


- Charakterystyka $u_{WY}(u_{WE})$



Rys. 4.38

■ Analiza dynamiczna



Rys. 4.39

Fazę włączania można scharakteryzować przez podanie dwóch czasów

- Czas opóźnienia (t_d)
- Czas narastania (t_r)
- Czas włączania $t_{on} = t_d + t_r$

Faza wyłączania zaczyna się, gdy tranzystor jest w zakresie nasycenia i włączamy napięcie wejściowe.

- Czas magazynowania (przeciągania) (t_s)
- Czas opadania (t_f)
- Czas wyłączania $t_{off} = t_s + t_f$

Wpływ temperatury na właściwości BJT

$$i(u) = I_S \cdot \left(\exp \frac{u}{U_T} - 1 \right) \quad (4.68)$$

gdzie:

$$I_S \sim n_i^2$$

$$n_i^2(T) = A_0 T^{3/2} \exp \left(-\frac{W_{go}}{2kT} \right) \quad (4.69)$$

$$U_T = \frac{k}{q} \cdot T$$

$$i = I_0 \exp \frac{u - U_{go}}{U_T} \quad (4.70)$$

gdzie:

$$U_{go} = W_{go} / q$$

$$i_C = I_{01} \cdot \exp \frac{u_{BE} - U_{go}}{U_T} \quad (4.71)$$

$I_{CBO} = I_S$	(wysokie temperatury)
$I_{CBO} = i_G$	(niskie i średnie temperatury)

tzn.

$$I_{CBO} = \underbrace{A_1 \cdot \exp \left(-\frac{U_{go}}{U_T} \right)}_{I_S} + \underbrace{A_2 \sqrt{u_{CB}} \cdot \exp \left(-\frac{U_{go}}{2U_T} \right)}_{i_G} \quad (4.72)$$

ok. 8% / K

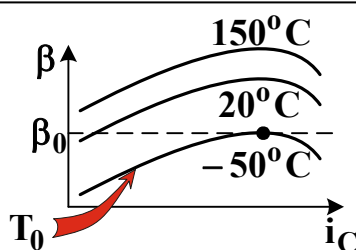
tzn.

2-krotny wzrost I_{CBO} przy wzroście temperatury o każde 10°C !

$$I_{CEO} = (\beta + 1) \cdot I_{CBO} \quad (4.73)$$

- Bardzo ważna jest znajomość wpływu temperatury na współczynnik β .

$$\beta = \beta_0 \cdot [1 + a \cdot (T - T_0)] \quad (4.74)$$



Rys. 4.40

od ułamka procenta do około 1% / K.

- Ważna jest również zależność napięcia przebicia od temperatury.

$$U_Z(T) = U_{ZO} [1 + \beta_Z (T - T_0)]$$

■ Parametry termiczne i temperatura wnętrza

$$T_j \neq T_a$$

(4.75)

$$\text{div}(\lambda \cdot \text{grad} T) - c \cdot \rho \cdot \frac{\partial T}{\partial t} = -g(x, y, z, t) \quad (4.76)$$

gdzie:

λ – przewodność cieplna

ρ – gęstość

c – ciepło właściwe

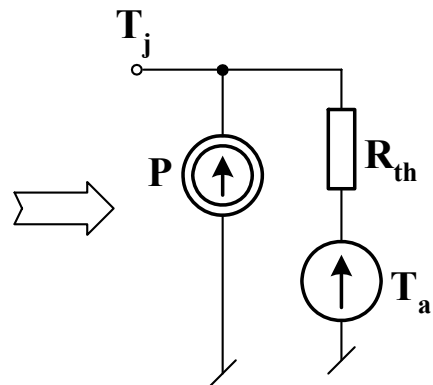
g – gęstość wydzielanej mocy

■ Stan termicznie ustalony

$$T_j = T_a + R_{th} \cdot P \quad (4.77)$$

● Analog elektryczny

Wielkość i parametr elektryczny	wielkość i parametr termiczny
V_j	T_j
V_a	T_a
R	R_{th}
i	P



Rys. 4.41

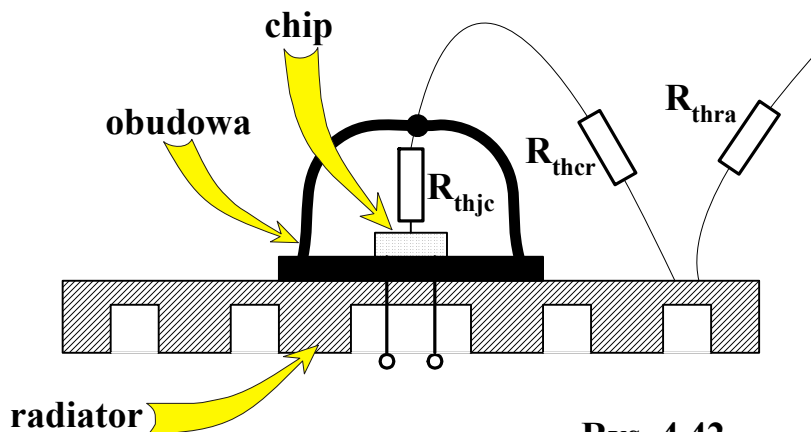
$$R_{thja} = R_{thjc} + R_{thcr} + R_{thra} \quad (4.78)$$

gdzie:

R_{thjc} – rezystancja termiczna między złączem a obudową elementu,

R_{thcr} – rezystancja termiczna między obudową a radiator (o ile jest on stosowany),

R_{thra} – rezystancja termiczna między radiator a otoczeniem.



Rys. 4.42

Często w katalogu

$$R_{th}(25^{\circ}C) \equiv R_{thj-c}$$

Uwaga !

$$R_{thj-c} \ll R_{th}$$

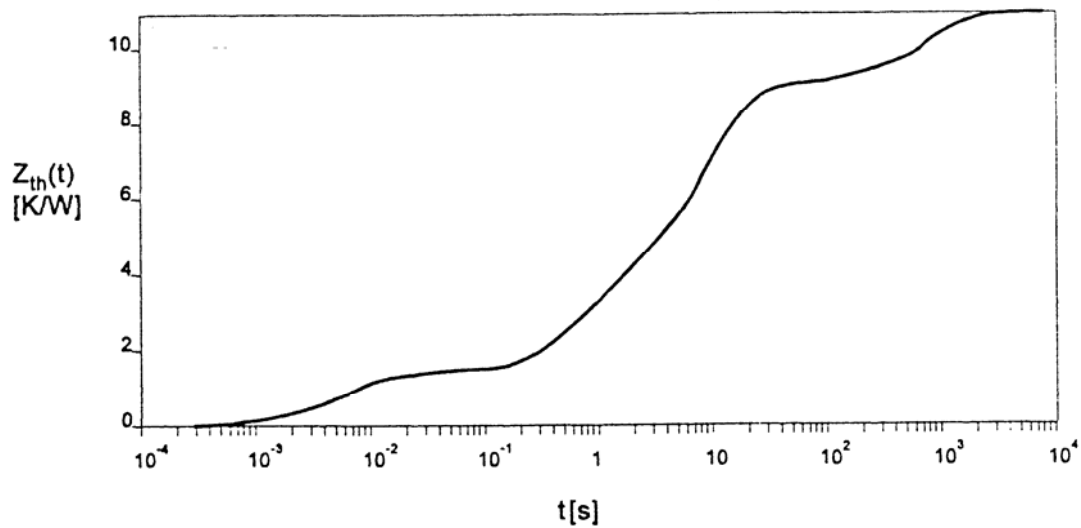
■ Termiczne stany przejściowe

$$Z_{th}(t) = \frac{\Delta T(t)}{P_1} \quad (4.79)$$

$$\Delta T(t) = T_j(t) - T_a \quad (4.80)$$

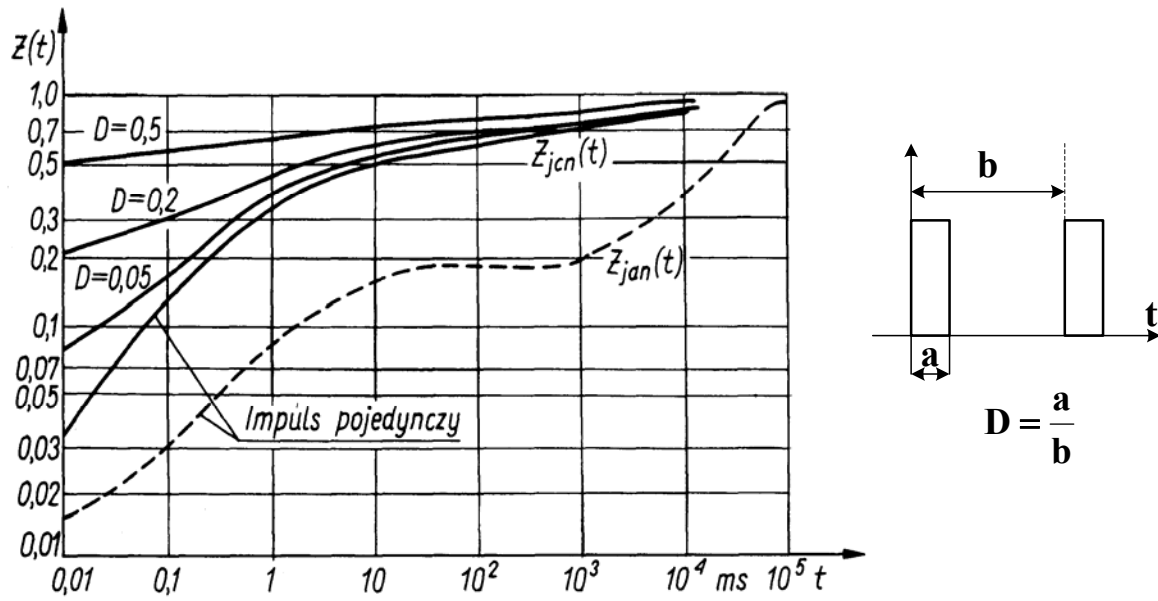
• Model termiczny dynamiczny

$$\Delta T(t) = \int_0^t Z'_{th}(v) \cdot p(t-v) \cdot dv \quad (4.81)$$



Rys. 4.43

$$Z_{thja}(t) = R_{thja} \cdot \sum_n a_n \cdot \left[1 - \exp\left(-\frac{t}{\tau_n}\right) \right] \quad (4.82)$$

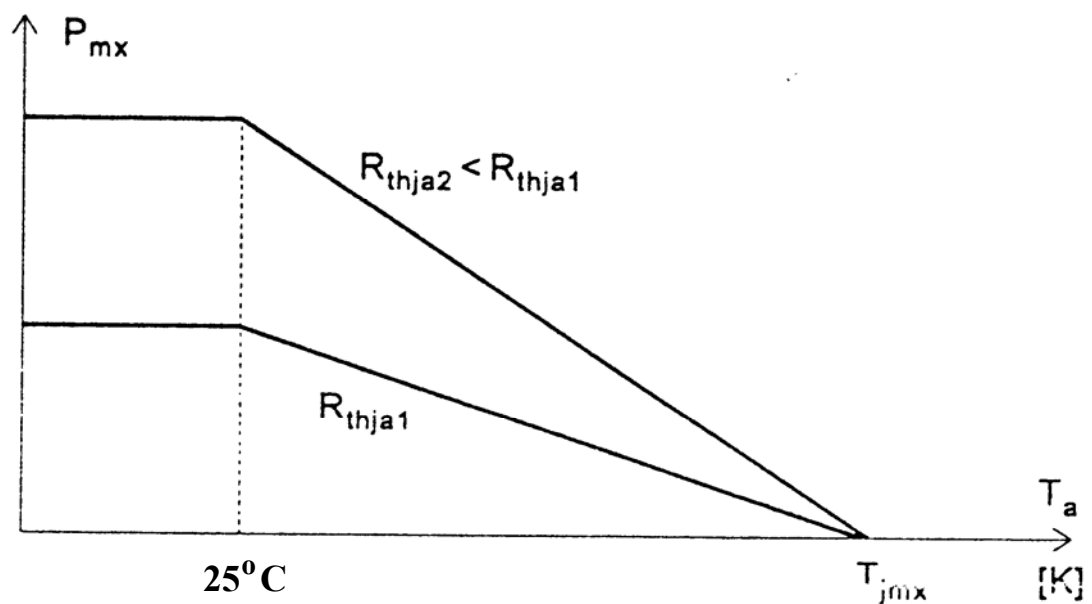


Rys. 4.44

■ Temperatura maksymalna i moc maksymalna

$$t_N \sim \exp\left(\frac{a}{T_j}\right)$$

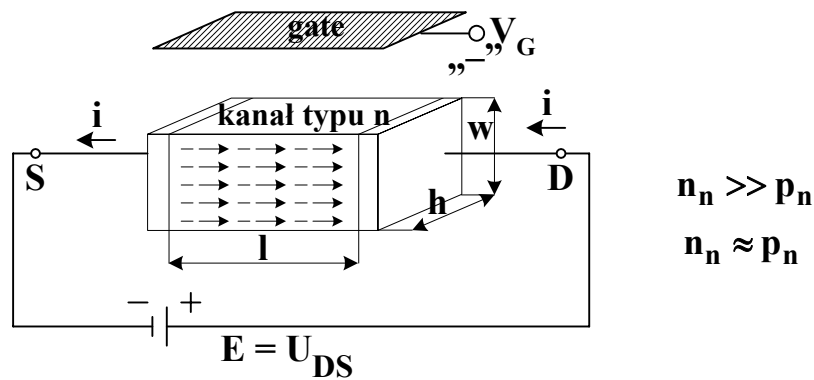
$$P_{\max} = \frac{T_{j\max} - T_a}{R_{thja}} \quad (4.83)$$



Rys. 4.45

V. Tranzystory polowe/unipolowe

■ FET – zasada działania



Rys. 5.1

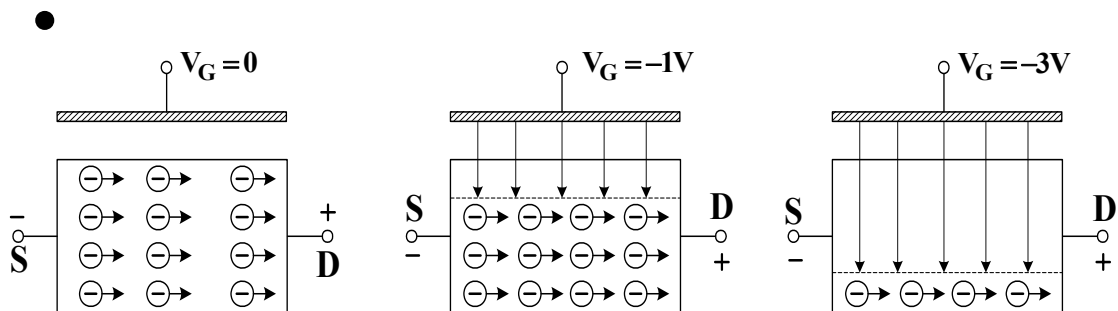
● Prąd w obwodzie

$$i = \frac{E}{R_0} \quad (5.1)$$

$$R_0 = \rho \cdot \frac{l}{h \cdot w} = \frac{1}{\sigma} \cdot \frac{l}{h \cdot w} = \frac{1}{q \cdot \mu_n \cdot N} \cdot \frac{l}{h \cdot w} \quad (5.2)$$

stąd

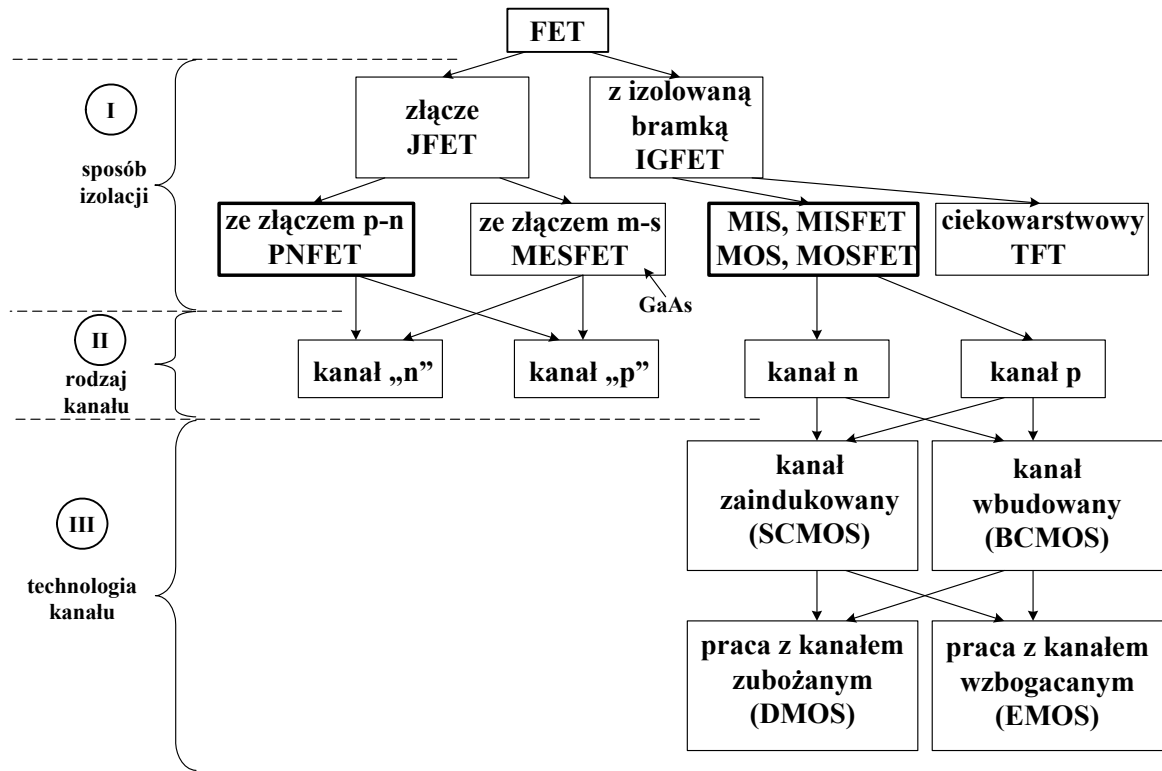
$$R_0 \sim \frac{1}{w} \quad (5.3)$$



Rys 5.2

■ Klasyfikacja

● Klasyfikacja 3- warstwowa



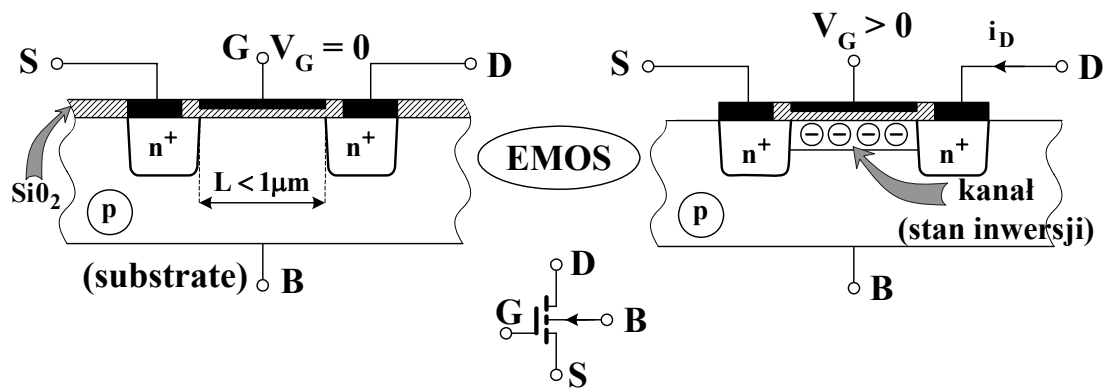
Rys. 5.3

● Typ tranzystora a rodzaj izolacji

typ tranzystora	izolacja
MOS, MIS	dielektryk
JFET	złącze p-n
MESFET	złącze m-s

■ MOS

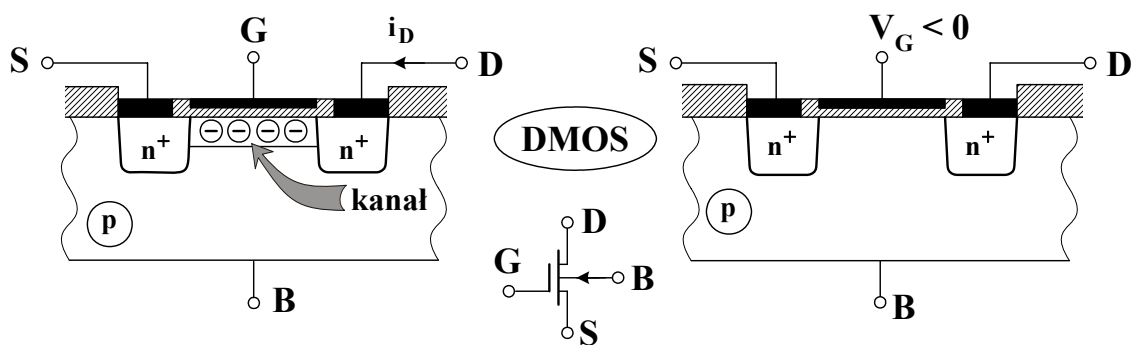
- kanał indukowany
- normalnie wyłączony
- pracujący ze wzboganiem



Rys. 5.4

■ MOS

- kanał wbudowany
- normalnie załączony
- pracujący ze zubożaniem



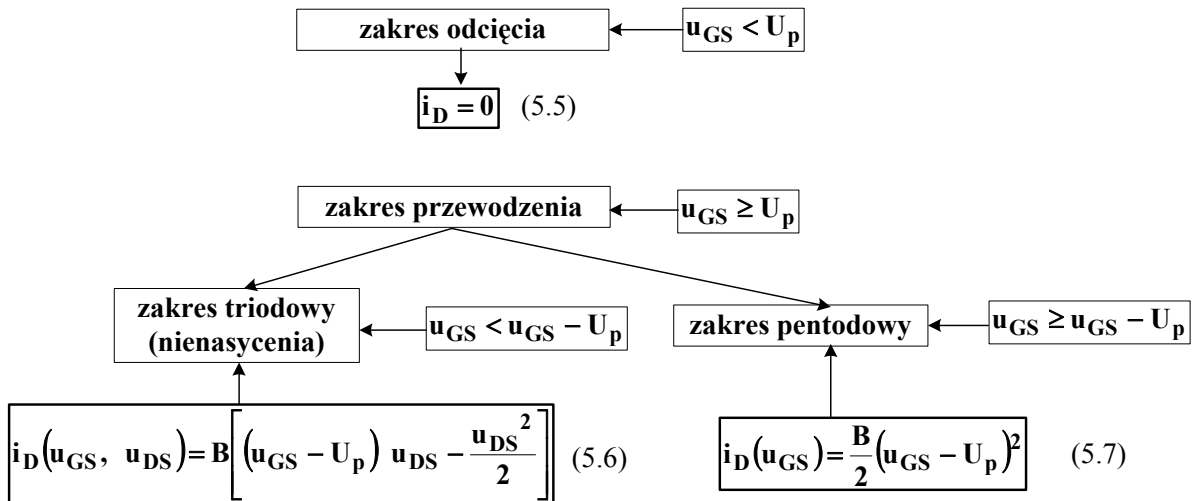
Rys. 5.5

■ „Elektryczna” regulacja wartości napięcia progowego

$$U_p(u_{BS}) = U_p(0) + A \cdot \sqrt{|u_{BS}|} \quad (5.4)$$

■ Charakterystyki statyczne idealnego MOS

• Zakresy pracy i zależności analityczne



• Parametr materiałowy B

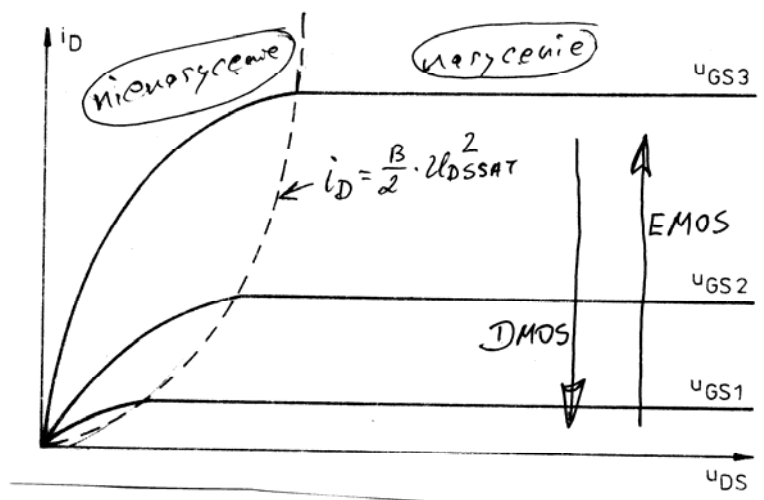
$$B = \frac{\mu_0 \cdot W \cdot C_{ox}}{L} = \frac{\mu_0 \cdot W \cdot \epsilon_0 \cdot \epsilon_{ox}}{L \cdot t_{ox}} \quad (5.8)$$

tzn.

$$B \sim \frac{W}{L} \quad B \sim \mu_0$$

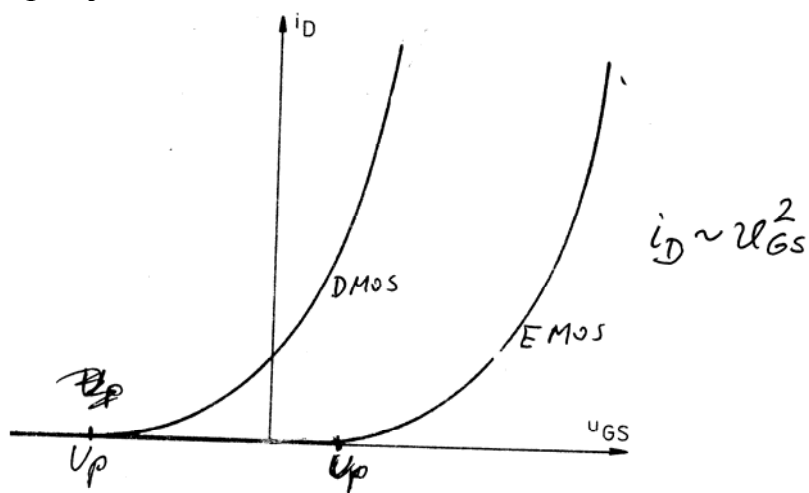
• Postać graficzna modelu

Charakterystyki wyjściowe $i_D(u_{DS})$



Rys. 5.6

Charakterystyki przejściowe

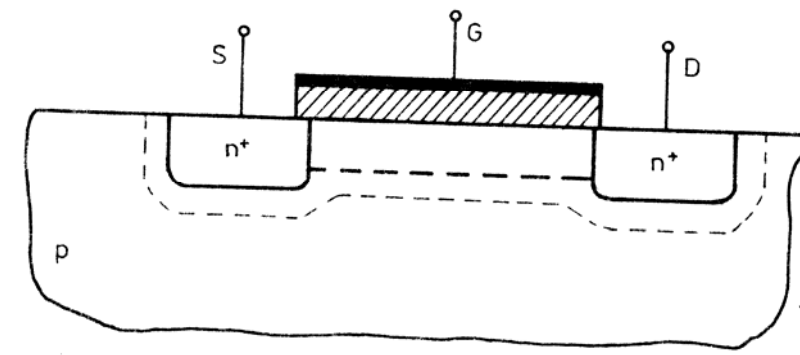


Rys. 5.7

- Kształt kanału dla różnych zakresów pracy

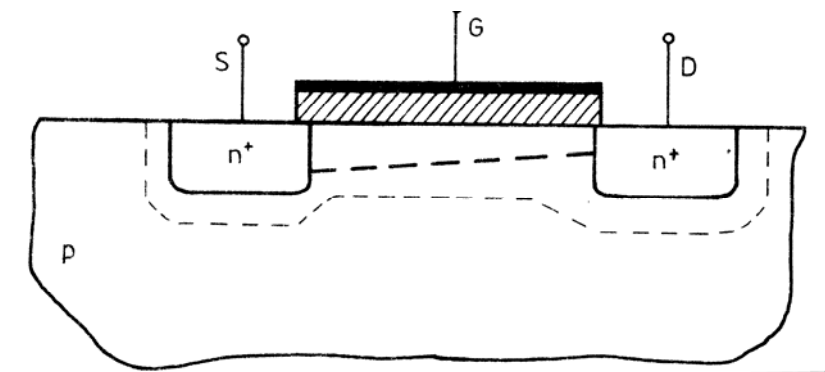
Zał: $u_{GS} = \text{const}$
 $u_{DS} = \text{var}$

- Zakres triodowy: małe wartości u_{DS}



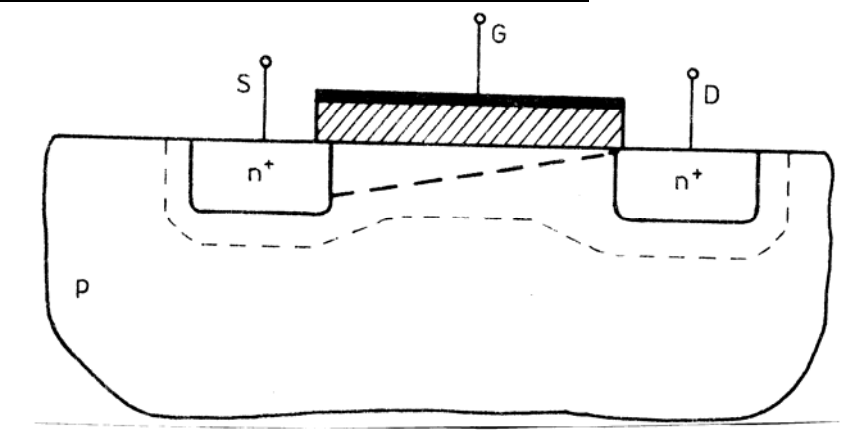
Rys. 5.8a

- Zakres triodowy: większe wartości u_{DS} .



Rys. 5.8b

- **Granica zakresu triodowego i pentodowego**

**Rys. 5.8c**

$$\mu = \frac{\mu_o}{1 + \gamma \cdot (u_{GS} - U_p)} \quad (5.9)$$

$$i_D(u_{GS}, u_{DS}) = \frac{B}{2} (u_{GS} - U_p)^2 \cdot [1 + \gamma(u_{DS} - u_{DSSAT})] \quad (5.10)$$

$$i_D = \frac{B}{2} (u_{GS} - U_p)^2$$

$$I_d = g_m \cdot U_{gs} \quad (5.11)$$

$$g_m = \frac{di_D}{du_{GS}} = B(u_{GS} - U_p) = \sqrt{2Bi_D} \quad (5.12)$$

$$I_d = \underbrace{g_m \cdot U_{gs}}_{\text{MOS idealny}} + g_{ds} \cdot U_{ds} \quad (5.13)$$

gdzie

$$g_{ds} = \frac{di_D}{du_{DS}} = \gamma \cdot i_D \quad \text{Nachylenie ch-ki wyjściowej (wzór 5.10)} \quad (5.14)$$

$$2\pi \cdot f_m \cdot C_{gs} U_{gs} = g_m \cdot U_{gs} \quad (5.15)$$

$$f_m = \frac{\mu \cdot |u_{GS} - U_p|}{2\pi \cdot L^2} \quad (5.16)$$

$$B \sim T^{-\kappa} \quad (5.17)$$

$$U_p(T) = U_p(T_0) \left(1 + \frac{dU_p}{dT} \cdot \Delta T \right) \quad (5.18)$$

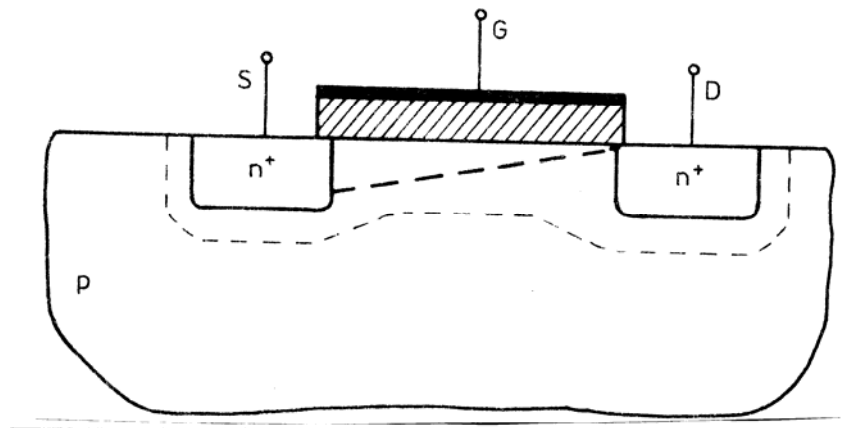
$$G_0 = \frac{2 a q \mu_n N_D W}{L} \sim \mu_n \cdot \frac{W}{L} \quad (5.19)$$

$$i_D = G_0 \cdot u_{DS} \quad (5.20)$$

$$i_D(u_{GS}) = I_{DSS} \left(1 - \frac{u_{GS}}{U_p} \right)^2 = \frac{B}{2} (u_{GS} - U_p)^2 \quad (5.21)$$

$$U_p = - \frac{q \cdot a^2 \cdot N_d}{2\epsilon \cdot \epsilon_0}$$

- Granica zakresu triodowego i pentodowego



Rys. 5.8c

■ Charakterystyki statyczne rzeczywistego MOS

- Modulacja ruchliwości nośników

$$\mu = \frac{\mu_0}{1 + \Theta \cdot (u_{GS} - U_p)} \quad (5.9)$$

gdzie:

Θ - parametr modelu

Stąd modyfikacja parametrem B w którym μ_0 należy zastąpić przez μ

- Modulacja długości kanału (zakres pentodowy)

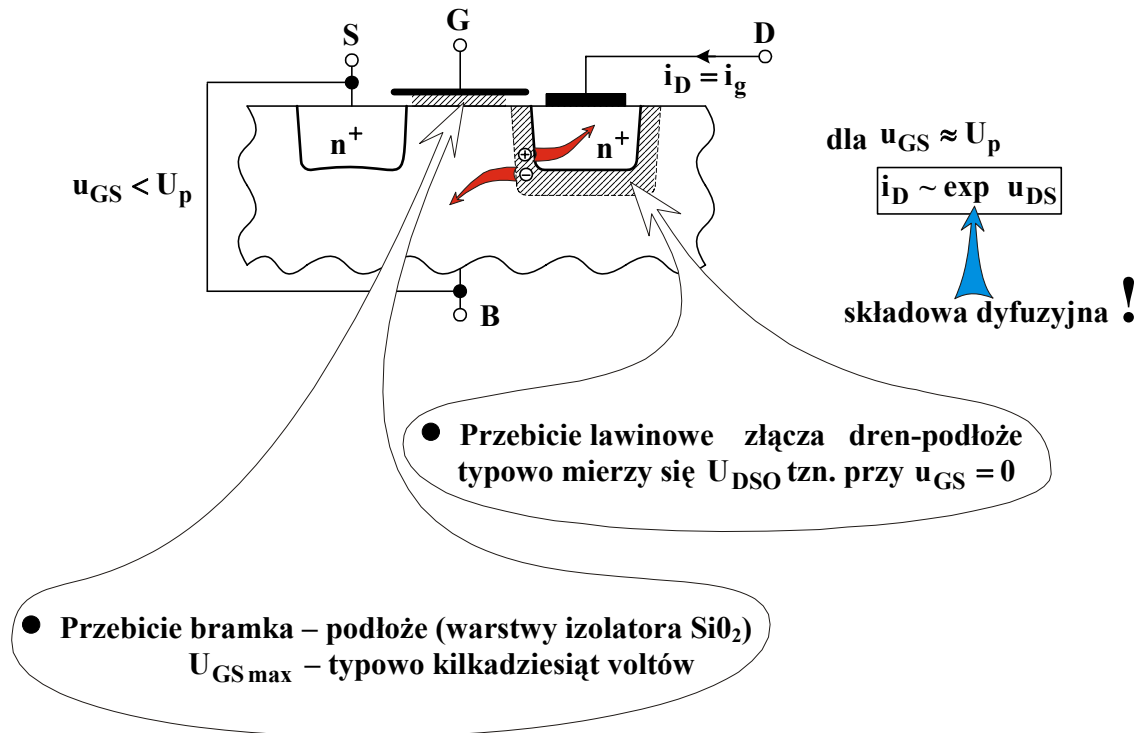
$$i_D(u_{GS}, u_{DS}) = \frac{B}{2} (u_{GS} - U_p)^2 \cdot [1 + \gamma(u_{DS} - u_{DSSAT})] \quad (5.10)$$

gdzie:

γ - parametr modelu

$\frac{1}{\gamma}$ - sens analogiczny jak napięcie Early'ego w **BJT**

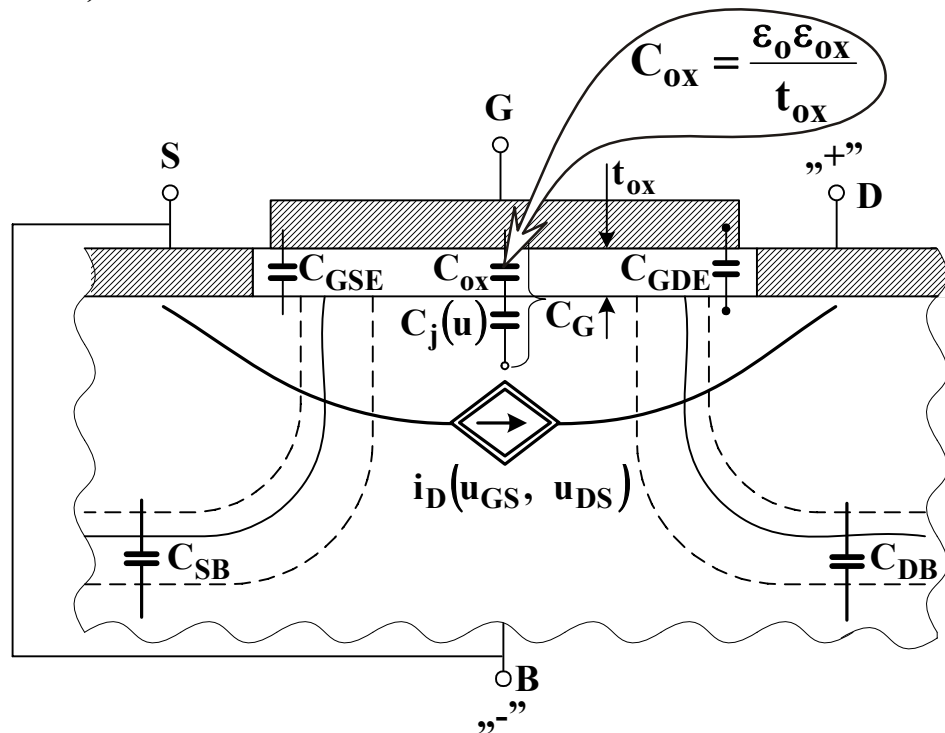
- Praca w zakresie podprogowym (odcięcia)



Rys. 5.9

■ Wielkosygnalowy dynamiczny model MOS

- Należy uzupełnić model stałoprądowy o pojemności (rys 5.10)



Rys. 5.10

Trzy grupy pojemności

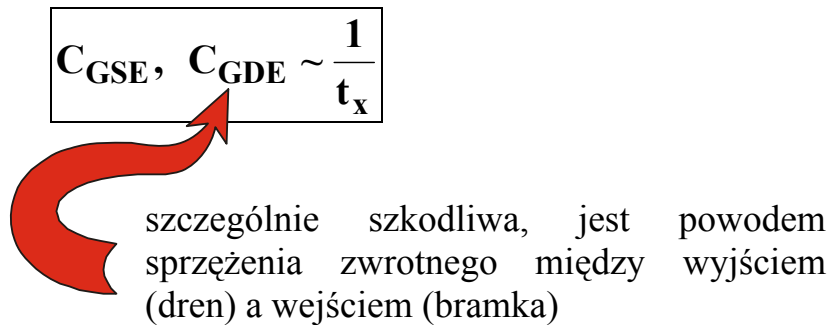
- Nieliniowe pojemności złączowe (pasożytnicze)



Typowo „S” zwarte z „B” $\Rightarrow C_{SB} \rightarrow 0$

$C_{DB} \rightarrow$ pojemność wyjściowa !

- Liniowe pojemności nakładki metalowej elektrody bramki na obszary źródła i drenu (pasożytnicze)

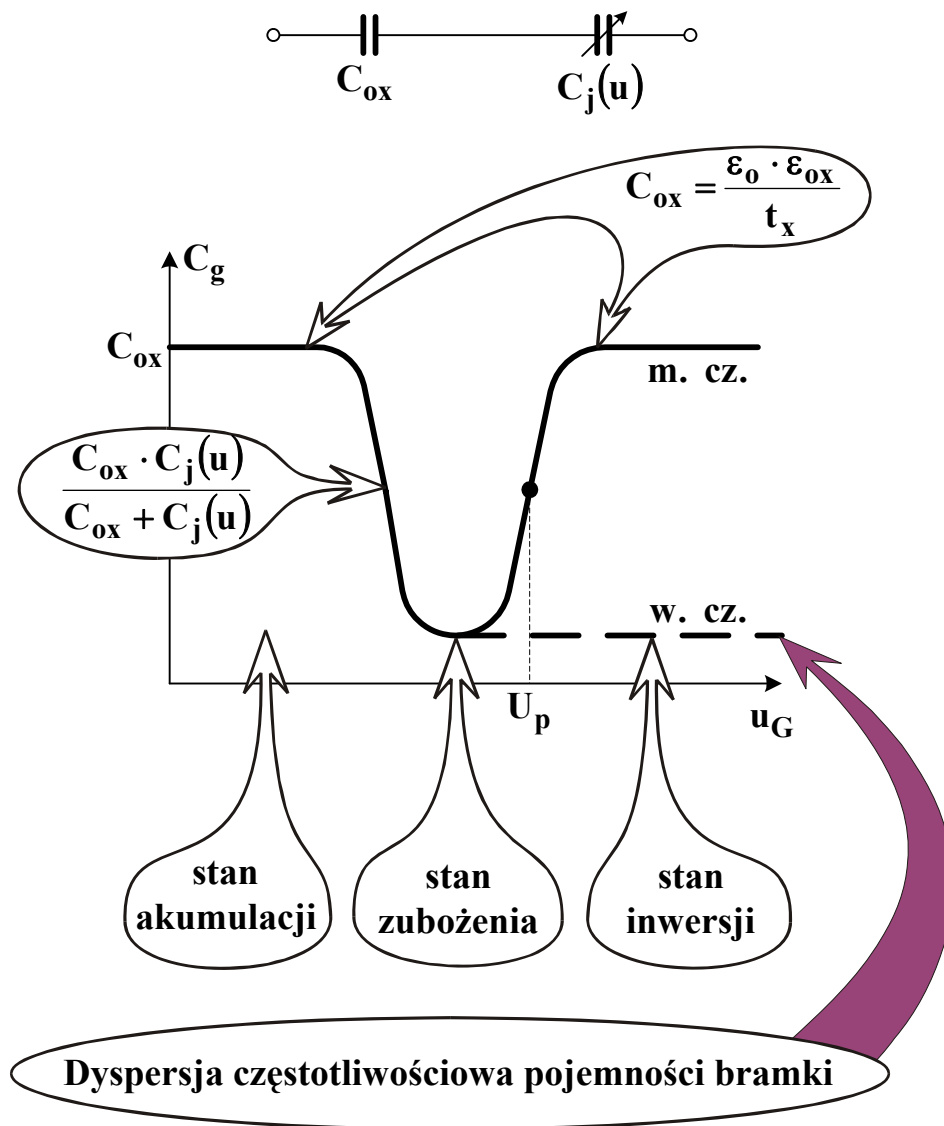


● Nieliniowa pojemność bramki (rys. 5.10)

$$C_G = f(u_{GB}, f_{sygn})$$

założenie

Rozważamy nEMOS (kanał n, normalnie OFF)



Rys. 5.11

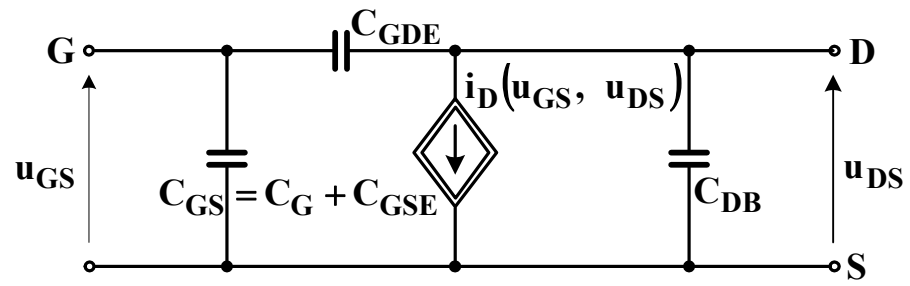
Uwaga !

Pojemność C_{ox} jest pojemnością użyteczną, gdyż

$$B \sim C_{ox}$$

ma mieć dużą wartość

● Postać modelu



Rys. 5.12

Typowe wartości pojemności

$$C_G = 5 \div 30 \text{ pF}$$

$$C_{GDE}, C_{GSE} < 1 \text{ pF}$$

$$C_{DB} = 0,2 \div 5 \text{ pF}$$

■ Model małosygnałowy MOS (m-cz)

- Zasada tworzenia – podana wcześniej (rozdz. I)
- Określa się dla zakresu nasycenia, głównie konfiguracja WS
- Z modelu stałoprądowego (nasycenie)

$$i_D = \frac{B}{2} (u_{GS} - U_p)^2$$

Można napisać dla małych amplitud

$$I_d = g_m \cdot U_{gs} \quad (5.11)$$

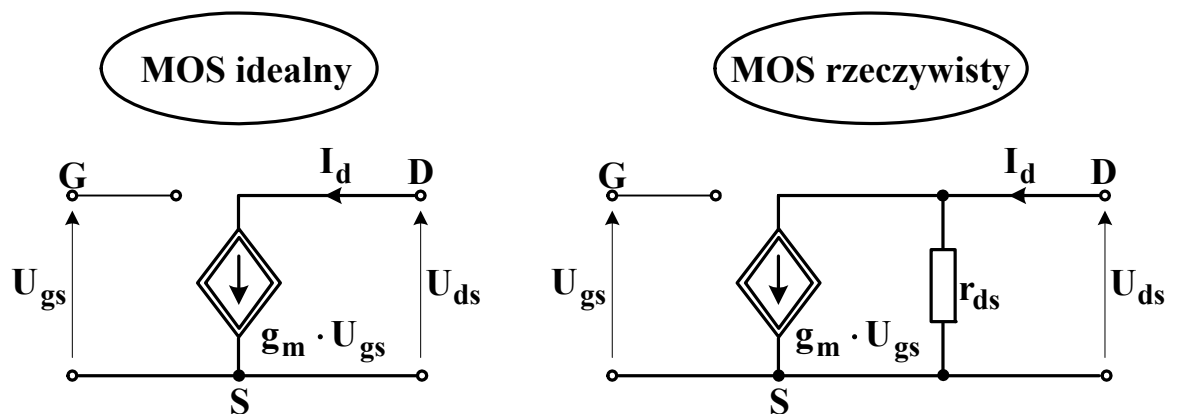
- Transkonduktancja g_m

$$g_m = \frac{di_D}{du_{GS}} = B(u_{GS} - U_p) = \sqrt{2Bi_D} \quad (5.12)$$

typowo

$$g_m = 0.3 \div 1 \text{ mS}$$

- Schematy zastępcze



Rys. 5.13

Dla rzeczywistego MOS

$$I_d = \underbrace{g_m \cdot U_{gs}}_{\text{MOS idealny}} + g_{ds} \cdot U_{ds} \quad (5.13)$$

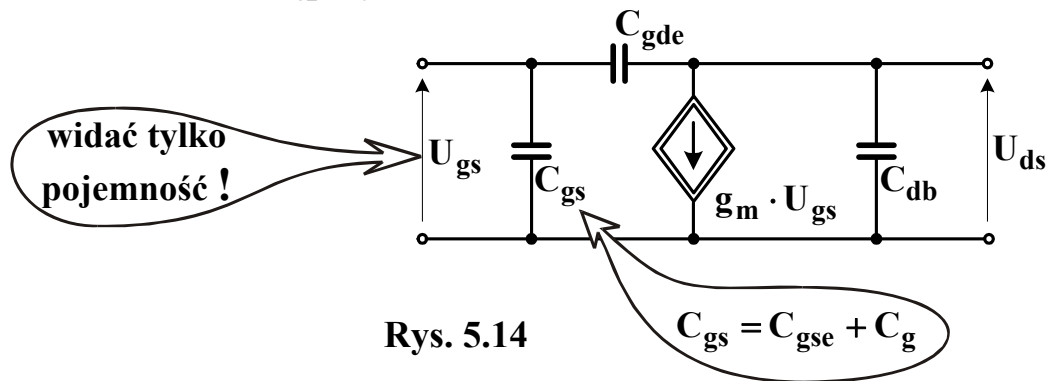
gdzie

$$g_{ds} = \frac{di_D}{du_{DS}} = \gamma \cdot i_D \quad \text{Nachylenie ch-ki wyjściowej (wzór 5.10)} \quad (5.14)$$

■ Model małosygnałowy MOS (m.cz.)

- Małosygnałowy model m.cz. należy uzupełnić o pojemności:
 - pojemność bramki – C_g
 - pojemność warstwy opróżnionej dren-podłoże – C_{db}
 - pojemności pasożytnicze wynikające z nakładki powierzchni bramki nad źródło i dren – C_{gse} , C_{gde}

● Schemat zastępczy



● Właściwości częstotliwościowe def.

Częstotliwość charakterystyczna f_m = częstotliwość przy której moduł amplitudy prądu wejściowego o charakterze pojemnościowym jest równy modułowi amplitudy prądu źródła sterowanego w obwodzie wyjściowym, tj.

$$2\pi \cdot f_m \cdot C_{gs} \cdot U_{gs} = g_m \cdot U_{gs} \quad (5.15)$$

Po podstawieniu odpowiednich zależności i przekształceniach, dla dowolnego typu przewodnictwa w kanale otrzymujemy

$$f_m = \frac{\mu \cdot |u_{GS} - U_p|}{2\pi \cdot L^2} \quad (5.16)$$

gdzie:

L – długość kanału

● Wniosek:

Częstotliwość charakterystyczna jest większa dla **nMOS-ów** w porównaniu z **pMOS-ami**, ze względu na około trzykrotnie większą wartość ruchliwości elektronów w porównaniu z dziurami. Także istotny

jest wpływ długości kanału – im krótszy kanał, tym większa f_m .

■ MOS – wpływ temperatury

- Temperatura wpływa na parametry

$$\textcircled{B} \text{ oraz } \textcircled{U_p}$$

- Zależność $B(T)$ wynika z zależności $\mu(T)$, stąd

$$\boxed{B \sim T^{-\kappa}} \quad (5.17)$$

tutaj $\kappa \approx 1$ (wpływ międzypowierzchni na mechanizm rozpraszania nośników)

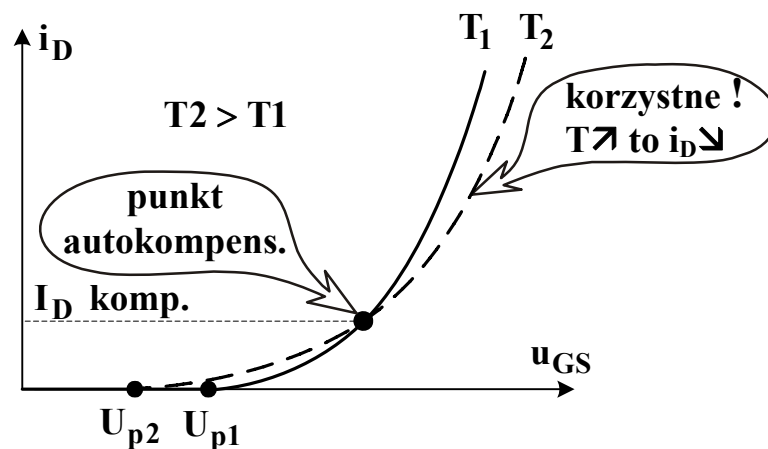
- Napięcie progowe zależy liniowo od temperatury

$$U_p(T) = U_p(T_0) \cdot \left(1 + \frac{dU_p}{dT} \cdot \Delta T \right) \quad (5.18)$$

gdzie wartość współczynnika termicznego

$$\frac{dU_p}{dT} = - \text{kilka mV/K}$$

- Wpływ temperatury na statyczną charakterystykę $i_D(u_{GS})$



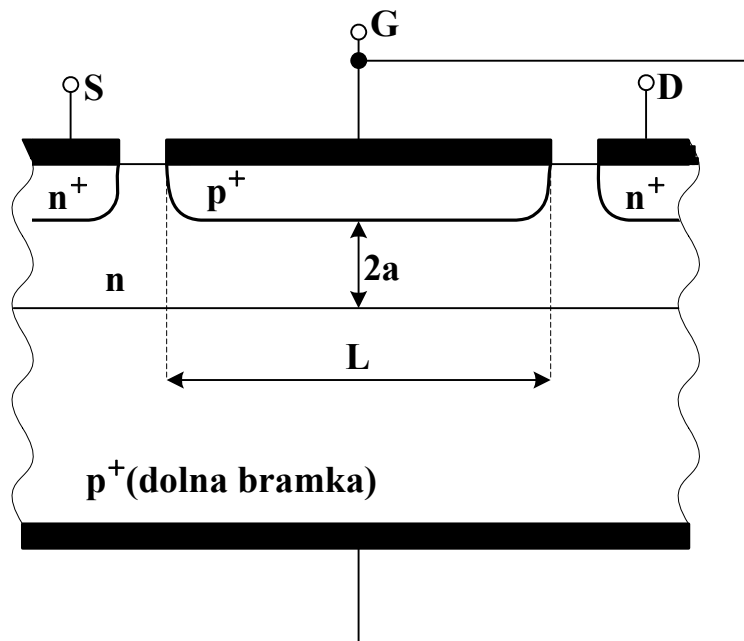
Rys. 5.15

Uwaga ! punkt autokompensacji !

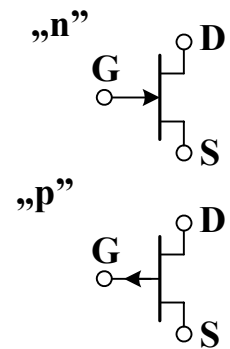
JFET

■ Budowa

- Elektroda bramki **JFET'a** jest oddzielona od kanału za pomocą zaporowo spolaryzowanego złącza **p-n**.
- Szkic przekroju **JFET** z kanałem **n** oraz symbole



Rys. 5.16



- Przy braku polaryzacji kanał jest przewodzący
- Konduktywność kanału otwartego ($u_{GS} = 0$)

$$G_0 = \frac{2 a q \mu_n N_D W}{L} \sim \mu_n \cdot \frac{w}{L} \quad (5.19)$$

gdzie:

N_D - koncentracja domieszki donorowej w kanale

μ_n - ruchliwość elektronów

w - szerokość kanału

Stąd dla małej wartości $u_{DS} \rightarrow 0$

$$i_D = G_0 \cdot u_{DS} \quad (5.20)$$

■ Charakterystyki statyczne

- Podział na zakresy pracy i wzory opisujące podstawowe charakterystyki **JFET** są w przybliżeniu takie jak dla **MOS**
- Charakterystyki przejściowe w zakresie nasycenia

$$i_D(u_{GS}) = I_{DSS} \left(1 - \frac{u_{GS}}{U_p} \right)^2 = \frac{B}{2} (u_{GS} - U_p)^2 \quad (5.21)$$

I_{DSS} - nowy parametr (o innym wymiarze !)

def.

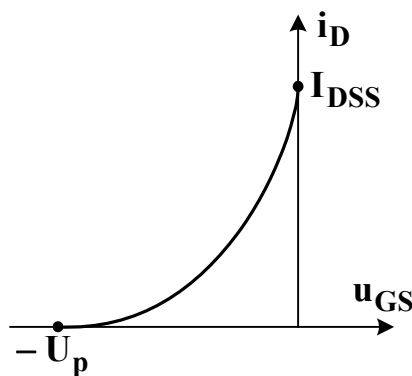
I_{DSS} = prąd drenu płynący przy $u_{GS} = 0$

$$I_{DSS} = -\frac{1}{2} \cdot G_0 \cdot B \cdot U_p$$

gdzie:

G_0 - konduktancja otwartego kanału

- Typowa zależność $i_D(u_{GS})$ pokazano na rys. 5.17



Rys. 5.17

- **Napięcie progowe**

$$U_p = -\frac{q \cdot a^2 \cdot N_D}{2\epsilon \cdot \epsilon_0} \quad (5.21)$$

gdzie **a** oznacza połowę szerokości kanału (mierzoną w głąb struktury).

- **Charakterystyki wejściowe**

Są inne niż dla tranzystorów **MOS**. Charakterystyki $i_G(u_{GS})$ **JFET** są analogiczne jak dla złącza p-n spolaryzowanego zaporowo (prąd generacyjny) stąd **przebiecie bramki JFET'a \Rightarrow przebiecie lawinowe złącza p-n !**

typowo

$$i_G \rightarrow \text{rzędu nA}$$

■ **Inne uwagi**

- w **JFET'ach** występuje efekt modulacji długości kanału
- w **JFET'ach** nie występuje efekt modulacji ruchliwości nośników
- model małosygnałowy ma postać identyczną jak dla tranzystora **MOS**

■ Porównanie właściwości tranzystorów bipolarnych i polowych

- W tranzystorach polowych prąd związany jest z ruchem nośników większościowych, natomiast w tranzystorach bipolarnych główną rolę w przepływie prądu odgrywają nośniki mniejszościowe wprowadzone z emitera do bazy i transportowane przez bazę do złącza kolektorowego.
- Dla tej samej wartości prądu polaryzującego transkonduktancja (bo do niej jest proporcjonalnie wzmocnienie napięciowe stopnia wzmacniającego na pojedynczym tranzystorze) tranzystora bipolarnego jest do kilkuset razy większa niż tranzystora polowego.
- Rezystancja wejściowa tranzystorów polowych jest pięć do sześciu rzędów większe niż dla tranzystorów bipolarnych.
- Przeciętnie tranzystory bipolarne mają częstotliwości graniczne większe niż przeciętne tranzystory polowe.
- Istotne znaczenie ma zakres napięć, w których tranzystor jest elementem aktywnym. Minimalnie napięcie na wyjściu tranzystora bipolarnego, przy którym przechodzi on w obszar nasycenia wynosi od 100 do 200 mV. Dla tranzystorów polowych przejście w obszar triodowy zachodzi dla napięć rzędu kilku voltów.
Maksymalne napięcie wyjściowe związane jest ze zjawiskami przebicia i jest większe w tranzystorach bipolarnych.
Reasumując: w tranzystorach bipolarnych użyteczny zakres napięć odpowiadający pracy w obszarze aktywnym jest zdecydowanie większy.
- Tranzystory polowe wnoszą mniejsze zniekształcenia sygnałów harmoniczných. Dotyczy to głównie zniekształcenia trzeciego rzędu, gdyż charakterystyki tranzystorów polowych są bardzo zbliżone do zależności kwadratowej.
- Przełącznik typu **CMOS** zapewnia znacznie mniejszy pobór mocy w stanach ustalonych aniżeli przełącznik na tranzystorze bipolarnym. Natomiast szybkość działania przełącznika bipolarnego jest nieco większa niż przełącznika polowego.